

T. C.

Istanbul Teknik Üniversitesi
Kütüphanesi

Sayı : 812

UÇAK ELEMANLARI
ve MALZEMESİ II
HELIKOPTER

CILT
1

Yazan :
Prof. Kudret MAVİTAN
I. T. Ü.
Makine Fakültesi Profesörlerinden

BERKSOY MATBAASI
İstanbul - 1970

İÇ İNDEKİLER

	<i>Sahife</i>
Jiravyon	1
Helikopter	1
Jirodin	1
Otojir	1
Konvertibl	1
Tarihçe	2
Uçuş kontrolu	3
Helikopter hakkında bazı bilgiler	4
Motorlar	15
Güçün nakli	15
Rotor	15
Uçuş komandaları	15
Borda aletleri	16
Pilotaj	18
Özel tipler	20
Helikopterin kullanıcıları	21
Aerodinamik	28
Taşıyıcı disk teorisi	28
Helikopter (Pervane) rejiminde	32
Girodin rejiminde	32
Firenlenen Rotor rejimi	33
Taşıyıcı Disk Teorisini Haklı Gösterecek Özellikler	38
Değişik Uçuş Rejimlerinin Etüdü	39

	<i>Sahife</i>
Düşey uçuş hali	39
Dikey yönde çıkış	44
Dikey Yönde İniş	46
Yavaş ve Orta Hız ile İniş	47
Düşey Otorotasyon	50
Rotorun Turbiyon Teorisi Elemanları — Düşey Uçuşa Tatbiki	53
Turbiyon Teorisi Prensipleri	54
Düşey Uçuştaki Rotora Tatbiki	55
Güçün ve Taşımanın Hesabı	58
Genel Uçuş Hali	64
Ortalama Endüii Hızın Tayini	71
Endüii Hızın Disk Üzerinde Yayılımı	75
Otorotasyon	76
Niteliğe Değin İnceleme	82
Yer Tesiri	84
Yan rüzgârin yer tesirine etkisi	86
Cok rotorlular	86
Bir aks'ta iki rotor	86
Tandem iki rotor	87
Yan yana iki rotor	87

ŞEKİL VE RESİMLER

Sekil— Pal uçlarında basınçlı Hava Jeti olan, deney SO 1120-Ari Helikopteri	5
Sekil—2 Pal uçlarında basınçlı Hava Jeti olan SO 1221 Djinn	5
Sekil—3 Bir Rotorlu Bell 47-G	6
Sekil—4 Bir Rotorlu Bell 47-J	6
Sekil—5 HILLER 12 ilaçlama yaparken, Bir Rotorlu	7
Sekil—6a SIKORSKY yük taşıma Helikopteri	8
Sekil—6b AGUSTA-BELL 206 A, 600 Kg ağırlığı kaldırırken	9
Sekil—6c SIKORSKY CH-54 A kamyon taşıırken	10
Sekil—6d SIKORSKY CH-53 D dokuz ton kaldırma kapasitesinde	10
Sekil—7a Bir Rotorlu 4 Palli SIKORSKY S-56 ve S-58	11
Sekil—7b Bir Rotorlu 4 Palli SIKORSKY	12
Sekil—8 Bir aksda ters yönlerde dönen 2 Rotorlu Breget II-E	12

	<i>Sahife</i>
Şekil—9 H-21	13
Şekil—10 İki akslı iki Rotorlu SE 3000	13
Şekil—11a İki akslı tandem iki Rotorlu Vertol (Boeing)	14
Şekil—11b Boeing Helikopter CH-47 C	14
Şekil—12 Kombine deney helikopteri SO 1310 Farfadet	16
Şekil—13 Bir Helikopterin Pilot yeri	17
Şekil—14 Hava bisikleti HILLER	19
Şekil—15 Uçan Platform HILLER	19
Şekil—16 Konvertibl Bell XV-3	20
Şekil—17 Taşıyıcı Disk Teorisi	28
Şekil—18 Helikopter rejimi	31
Şekil—19 Girodin Rejimi	32
Şekil—20	32
Şekil—21 Otojir Rejimi	32
Şekil—22 Mulin-Fren Rejimi	33
Şekil—23	34
Şekil—24	37
Şekil—25	38
Şekil—26	39
Şekil—27 Hakiki akım, sabit uçuş	42
Şekil—28 Çıkış	42
Şekil—29 Mulin-Fren olarak hızlı iniş	44
Şekil—30 Mulin-Fren halinde yavaş iniş	47
Şekil—31	47
Şekil—32a, 32b Helikopter rejimi yavaş iniş	48
Şekil—33 Teorik akım	49
Şekil—34 Otorotasyon	50
Şekil—35 Bir Turbiyon elemanında endüii hız	50
Şekil—36a	54
Şekil—36b	55
Şekil—37 Uç kayıpları	56
Şekil—38 V ₂ ' ye dikey bir yüzeyde hava akımları	62
Şekil—39 Dikey uçuşa Rotor	65
Şekil—40 Kanat açıklığı sınırları	65

	<i>Sahife</i>
Şekil-41 Yürüyen Rotor	66
Şekil-42 Yürüyen bir rotorda değişik akım halleri	68
Şekil-43a	69
Şekil-43b	69
Şekil-43c	70
Şekil-44a	73
Şekil-44b	73
Şekil-44c	74
Şekil-44d	74
Şekil-44e	74
Şekil-45 Turbiyonların şema haline getirilmesi	75
Şekil-46 Yürüyüşte endüii hızların dağılımı	76
Şekil-47 ve 48 İdeal düşey otorotasyon	78
Şekil-49 Yürüyüşte otorotasyon	
Şekil-50 Yer tesirine yatay hızın etkisi	
Şekil-51 Çok rotorlu helikopterler	
Şekil-52 Karene pervane	87

PLANSLAR

	<i>Sahife</i>
Planş I-1 SIKORSKY 53 A Geniş ve hızlı helikopterler	23
Planş I-2 BELL AH-1G Asker Helikopteri	23
Planş I-3 SUD-AVİATION SA 341 5 kişilik türbinli, Anti Kuplukuyrukta karene edilmiştir.	24
Planş I-4 ALOUETTE II Türbin ile dönen rotor	24
Planş I-5 4-5 kişilik yüksekte uçuş Helikopteri AGUSTA-BELL 47 J - 3 BI	25
Planş I-6 Flotörlü amfibi AGUSTA LB 206 A	25
Planş I-7 AGUSTA 101 G	26
Planş I-8 SIKORSKY Helikopterinin sudan kalkışı	27
Planş II-1 Dikey çıkışta endüii hız	45
Planş II-2 Pal ucu kaybının tashihi	51
Planş II-3 Düşey uçuşa endüii hızlar	52
Planş II-4 Sabit uçuşa endüii hız	61
Planş II-5 Yatay uçuşa endüii hızlar	64
Planş II-6 Rotor boyunca endüii hız	71
Planş II-7 OX aksına göre yürüyüşte endüii hızların dağılımı	72
Planş II-8 OX aksına göre yürüyüşte endüii hızların dağılımı	77
Planş II-9 OX aksına göre yürüyüşte endüii hızların dağılımı	79
Planş II-10 Otorotasyon Poleri	81
Planş II-11 Otrotasyon Poleri	83
Planş II-12 Sabit güçlü bir rotorda yerin performansa etkisi	85
Planş II-13 Çok rotorlular	88

HELİKOPTER

Helikopter ailesine giren tiplerden genellikle bahs edelim.

Jiravyon :

Havada tutunması, rotor denilen düşey aks etrafında dönen, büyük çaptaki pervanesi ile kısmen veya tamamen temin edilen hava araçlarına denir ki genel terimdir.

Helikopter :

Motor ile çevrilen rotor veya rotorlar yardımıyla havada duran ve her yöne hareket eden bir tür jiravyon'dur.

Jirodin :

İtici yatay pervanesi olan ve bazan yardımcı kanadı ve rotoruda bulunan bir tür jirodindir. Bu tip araç prototip olarak bulunmaktadır.

Otojir :

Yatay pervanesi, aracın bir kısım yükünü taşıyan, rotoruda bulunan ancak rotorun dönüsü otorotasyon ile yani aracın hareketi ile dönen, bir hava aracıdır. Bu araç olduğu yerden dikey olarak kalkıp inemez. Büyük açılar ile inip kalkar. Hız fazla olamaz ve hız kaybı olayından korkmayan bir araçtır. Böylece çok dar alanlara iner ve kalkar.

1930 ile 1940 arasında büyük gelişme yapan otojir bugün havacılıktan tamamen çekilmiştir. Otojir üzerinde yapılan uçuşlar ve deneyler bugünkü Helikopter gelişmesinde büyük rol oynamıştır.

Konvertibl :

Bu terim, uçuş halinde şekil değiştiren bütün tipleri içine alır. Kalıcı iniş helikopter gibi olur. Seyahat uçuşunu uçak gibi yapar. Rotor

lar 90° dönerken pervane halini alır veya rotorlar uçuş hattına yatarak durur.

Tarihçe :

Helikopterin ilk eserine bundan 20 yüz yıldan önce Çin'de rastlanmıştır.

1784 yılında küçük bir model ile uçuş deneyi yapılmıştır. Ancak 20. yüzyılın başında patlamalı motorla harekete geçirilen gerçek ve hemen hemen uçabilen tam ölçüde hava araçları gözükmeğe başlamıştır.

1900 ile 1907 yılları arasında özellikle «COLONEL RENARD» ve daha sonra «LOUIS BREGUET» tarafından aerodinamik etüt ve taşıyıcı pervane teorisi yapılmaya başlanmıştır.

1907 de «PAUL CORNU» tarafından yapılan ve pilote edilen helikopter yerden yükselmiştir. Daha sonra yolcu ile yerden kalkma deneyi yapılmıştır.

1915 de bir göl üzerinde «PAPIN» tarafından yapılan deneyde fena dengeleme yüzünden göle inmiştir.

1916 da Avusturya ordusunda yapılan bağlı gözetleme helikopteri oldukça fazla bir yük ile 50 metre kadar yükselmiştir. Savaş sonunda bu yoldaki çalışmalar durmuştur.

1919 dan sonra bir çok helikopterler yerden yükselenmiş ve iyi kötü dönebilmiştir.

Helikopter OEHMICHEN 1924 de bir kilometrelilik kapalı devre uçuşu yapmıştır.

1936 da BREGUET - BORAND jiroplani sınıf arkadaşım uçak Yüksek Mühendisi CLAISSE tarafından pilote edilmiştir. Bir saatlik bir uçuş yaparak 100 metre yüksekliğe çıkmıştır. Bu uçuşta, bugünkü helikopter klasik uçuşları, otorotasyon ile birlikte yapılmıştır. Bu helikopter modern helikopter karakteristiklerini toplayan ilk helikopterdir.

1937 FOCKE - ACHGELIS helikopteri 1 saat 20 dakika uçarak 3400 metreye yükselmiş ve 120 Km/saat hız yapmıştır.

HANNA REISTCH tarafından pilote edilen bu helikopter kullanım yeteneğini göstermiştir.

1930 ile 1940 arasında tanınmış Mühendis LA CIERVA tarafından Otojir keşf edilerek yaygın ve çok faydalı servisler yapmıştır bu uçuşlarda rotor tekniği türünde esaslı gelişmeler olmuştur. İlk eklemlili paleri de LA CIERVA kullanmıştır.

1940 ile 1945 arasında Almanya'da bu alanda çalışmalar yapılmışsa da başlica ilerleme A.B.D. de olmuştur.

SIKORSKY R-4 ile A.B.D. Hava Kuvvetlerinde helikopter hizmete girmiştir. Buna paralel olarak birçok imalatçılar bu meyanda PIASECKI, BELL, HILLER, ve diğerleri helikopter yapmıştır. Harbden sonra A.B.D. Helikopter alanında adeta tekel kurmuştur. KORE harbi nedeni ile helikopter sistemli olarak kullanılmaya başlamıştır. Bu nedenle büyük siparişler alan A.B.D. fabrikaları, çok değerli deneyler yaparak, helikopterin bakım, dayanıklılık, kullanım ve saire üzerinde büyük gelişmeler kayd etmiştir. Statistiklere inanılırsa o devrede dünyada 12000 helikopter imal edilmiştir ki çoğu A.B.D. yapısıdır.

Bu arada İngiltere'de BRISTOL, FAIREY, PERCIVAL, SAUNDERS ROE, WESTLAND Fransada S.N.C.A.S.O. S.N.C.A'S.E., S.N.C.A., NORD, DURAND, BREGUET Fabrikalarında imalat yaparak dünya pazârında yerlerini almışlardır.

Sovyetler Birliği de Alman Tekniğine dayanarak helikopter imalâtına başlamıştır.

Üçaktan evvel insanlar tarafından düşünülen ve çalışmasına başlayan Helikopter imalâtı neden uçak imalâtı yanında bu kadar geri kalmıştır. Nedenlerini açığa kavuşturalım.

Güç : Dikey yönde uçuş; fazla bir güçe lüzum gösterir. Kaldırdığı beher kg yük için 1/6 bargır gereklidir. Bu güç normal olarak rotorun dönmesine yarayan bir kupl sağlar.

Kavrayabilmek için diyelim ki; 1000 Kg. lik bir helikopterin rotornu çeviren kupl bir lokomotif büyük tekerlegini döndüren kupl kadardır.

Yeterli derecede hafif ve sağlam motor, transmisyon, ve imal malzemelerinin memnun edici hale gelmesi çok zaman almıştır.

Uçuş Kontrolu : Helikopter uçak gibi kendiliğinden uçmaz, özellikle dikey uçuşta sürekli olarak pilotaj yapılmaktadır. Helikopterin pilo-

4

tajı özel olarak yetiştirilmiş pilota ihtiyaç gösterir, ve minimum teknik niteliklerinde bulunması gereklidir. Bu tür zorluklar uzun süre düşünlümüş, nihayet son zamanlarda bütün bunlar çözülebilmiştir.

Zorluklar : Yukarıda anlatılan zorlukların sonucu olarak yüksek değerdeki kupl'un transmisiyonu, iyi uçuş vasıfları, ancak memnun edici niteliğe varmıştır. Gerekli niteliklerin elde edilebilimsi çoğunlukla incelik isteyen ve karışık olan transmisiyon, rotor, kumanda ve diğer organlar gibi bölümlerin realize edilmesi, uzun çalışmaların verimidir.

Helikopter Hakkında Bazı Bilgiler : Halen en fazla kullanılan jiravyon tipi Helikopterdir.

Yapı : Helikopterin inşa resimleri, rotor veya rotorları çeviren ve kumanda etmek amacıyla düzenlenmiştir.

Rotoru Çeviren Sistem : Bugün, iki büyük usul kullanılmaktadır.

I---Mekanik Çevirme : Rotor bir aks tızrine monte edilmiş olup uygun bir sistemle motor tarafından çevrilir.

II---Tepkili Çevirme : Rotor gövde üzerinde başa dönen tertibde monte edilmiş olup pallerin hareketi uçaklarındaki tepkili iticilerle döner.

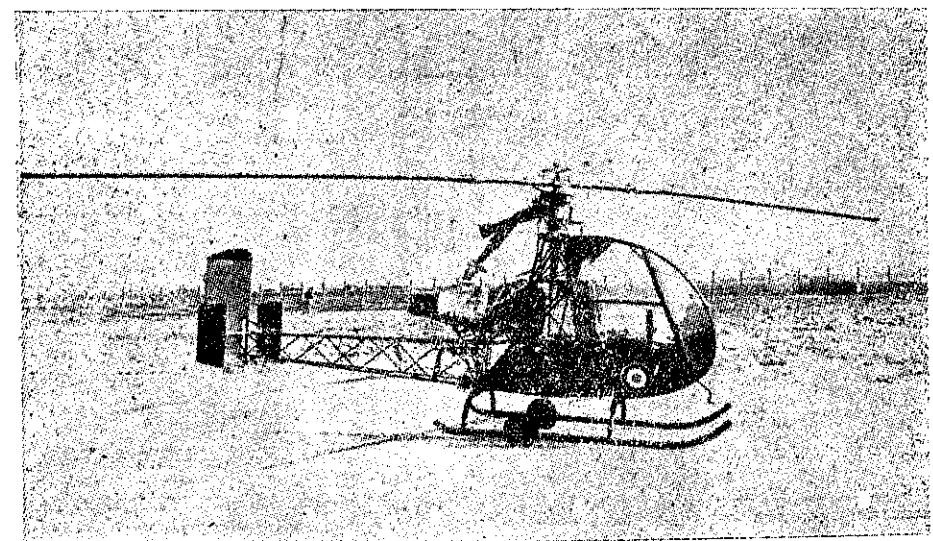
Bu amaçla: statoreaktör, pülsoreaktör hava ve gaz fışkıran uçaklar ve diğer usuller kullanılır. Bu tür tertibler basit ve hafif olurlarsa da randımanları düşük ve ekseriya çok gürültülü olduklarından az kullanılmaktadır. (Şekil 1, 2)

Tüm Yapısı : Rotorun mekanik çevrilmesi en çok kullanılan usuldür. Rotorun aksı etrafında dönme kuplu hasil olur ki bu da gövdeyi ters yönde çevremeye zorlar. Helikopterin yol eksenine etrafında doğan bu nevi kuplu dengelemek gerekmektedir. İşte bu nitelik gövdenin yapısını tayin eder. Birçok yapılar arasından en çok kullanılanları anlatalım.

1 — Tek rotorlu ve arkada ters kuplu doğuran pervaneli yapı ve en çok kullanılanıdır. (Şekil 3, 4, 5, 6, 7)



Şekil : 1 — Pal uçlarında basınçlı hava jeti olan, deney SO 1120 - Ari Helikopteri



Şekil : 2 — Pal uçlarında basınçlı hava jeti olan SO 1221 Djinn

2 — Aynı aks etrafında ters yönlerde dönen çift rotorlu (Şekil 8).
yapı



Şekil : 3 — Bir rotorlu Bell 47-G



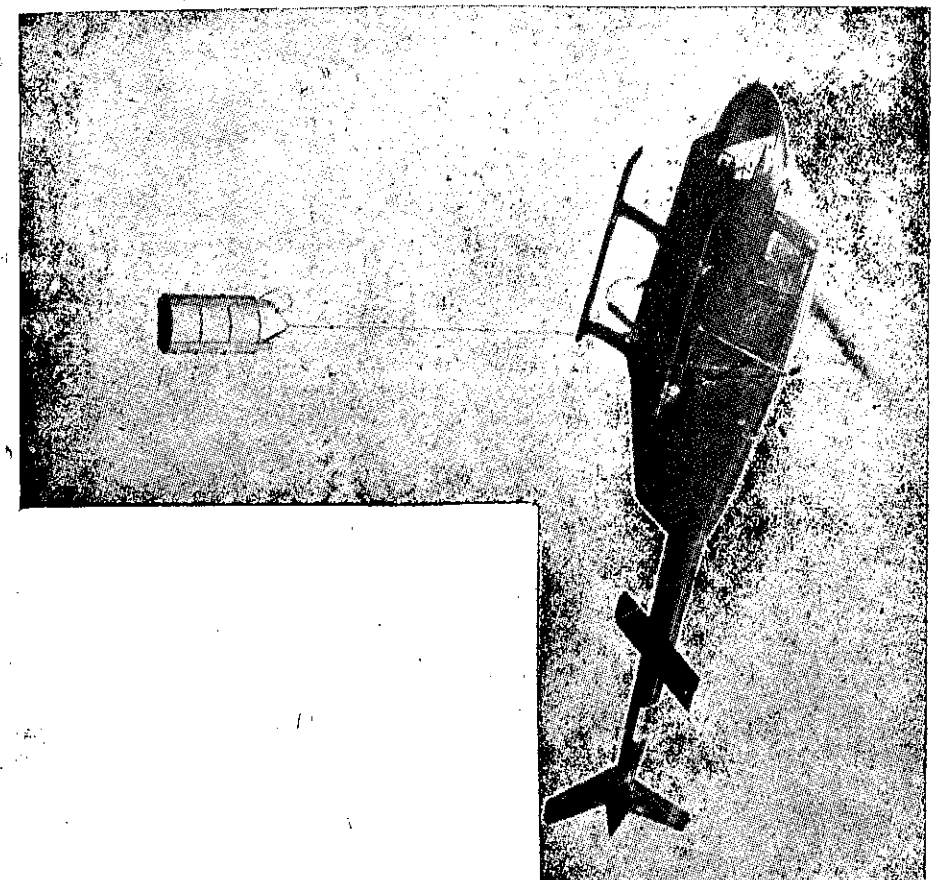
Şekil : 4 — Bir rotorlu Bell 47-J



Şekil — 5 HİLLER 12 ilaçlama yaparken, Bir rotorlu



Şekil — 6a SIKORSKİ yük taşıma Helikopteri



Şekil — 6b AGUSTA - BELL 206A, 600 kilogram ağırlığı kaldırırken



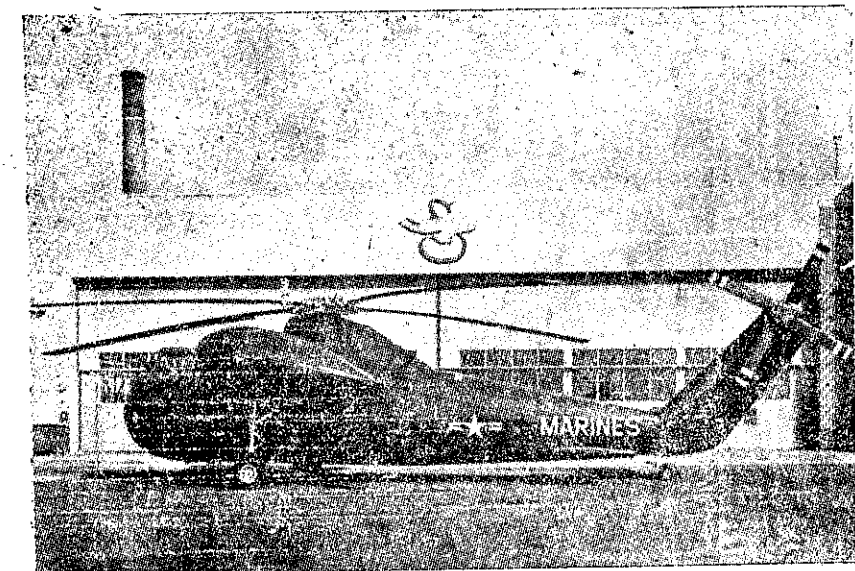
Şekil — 6c . SIKORSKY CH - 54A Kamyon taşırken



Şekil 6d . SIKORSKY CH - 53D
dokuz ton kaldırma kapasitesinde



S — 58



S — 56

Şekil : 7a — Bir rotorlu 4 pallı Sikorsky S-56 ve S-58

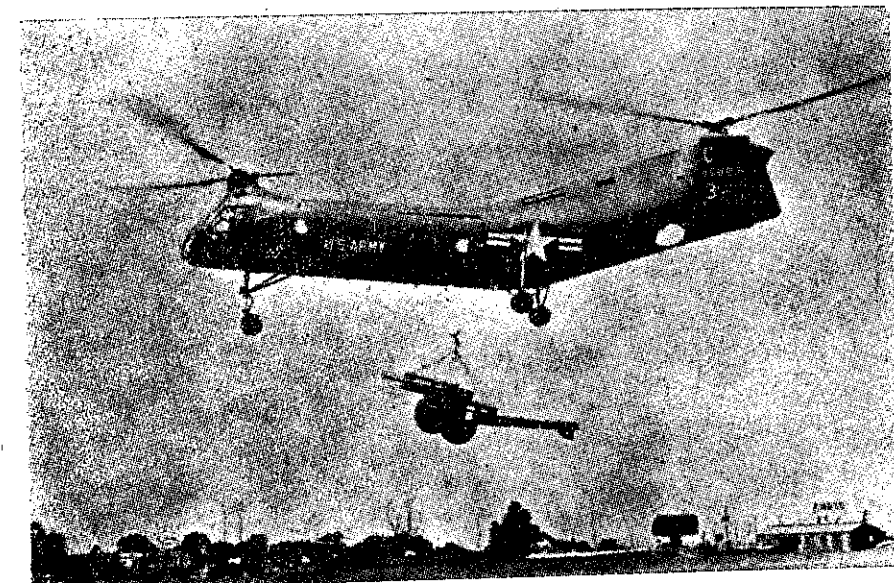


S - 61 - A
Şekil — 7b Bir rotorlu 4 palli Sikorsky

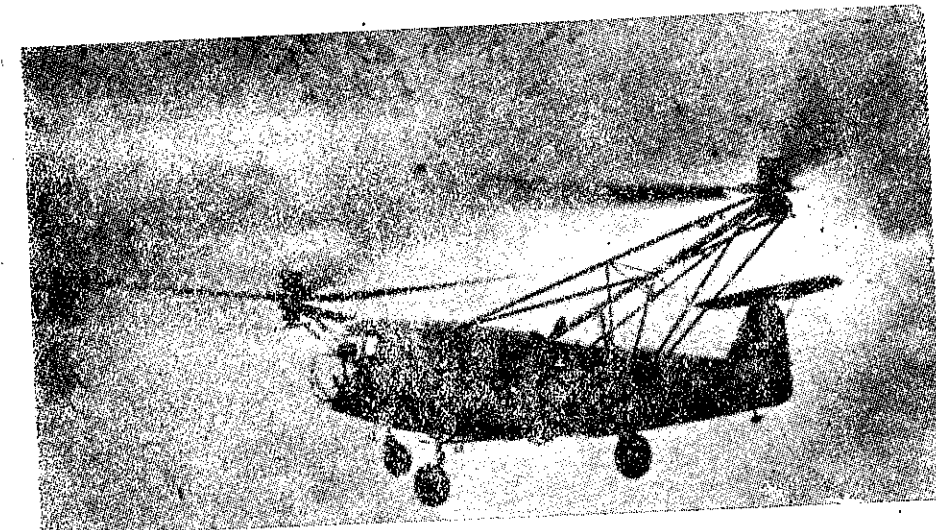


Şekil: 8 — Bir aksda ters yönlerde dönen 2 rotorlu Breget II-E

3 — Rotorları yan yana ters yönlerde dişli tertibatlı (Şekil 9) veya dişsiz dönen yapılar. (Şekil 10)



H - 21
Şekil — 9

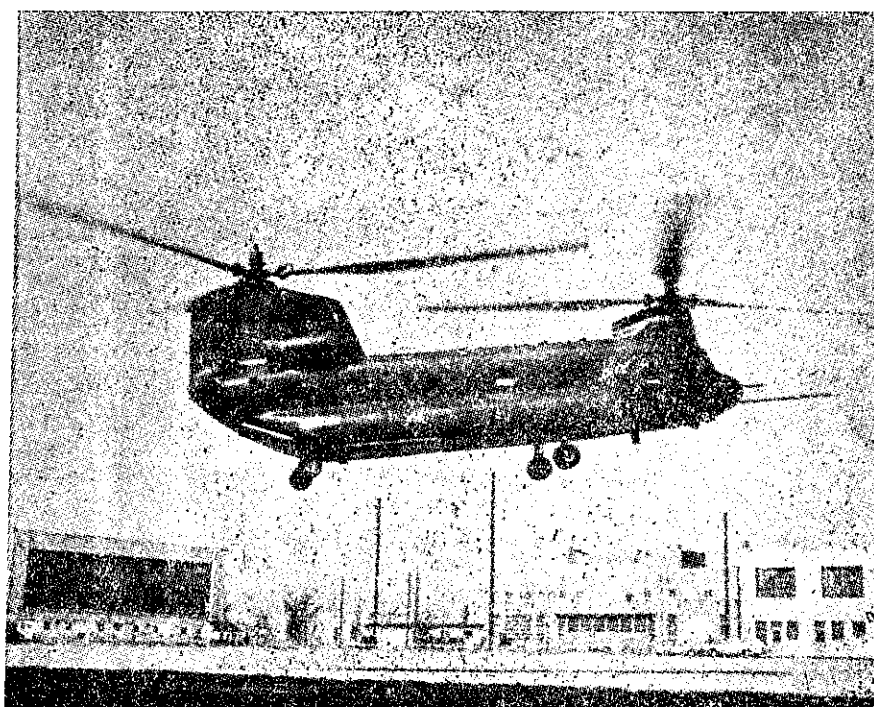


Şekil: 10 — İki akslı iki rotorlu SE 3000



HC - 1B - Chinook

Şekil: 11a — İki akslı tandem iki rotorlu Vertol (Boeing)



Şekil — 11b Boeing Helikopter CH - 47C

4 — Tandem olarak ters yönde dönen iki rotor (Şekil 11) bu tür yapı özellikle büyük tonajdaki helikopterlerde kullanılır.

5 — Tepkili rotorlar gövde üzerinde bir kупl yaratmadığından rotoru çeviren mekanik tertibatın olmaması gibi başlıca fayda sağlar. Şimdiye kadar senkranizasyon ile çevrilmesi gereken birden fazla rotorlu yapı yapılmamıştır.

Bu tür yapıda yol dengesi problemi çözülememiştir. Rotorun üflediği hava hortumu içine dümenler koymakla, eşaopmanın yönünü değiştirmekle hatta büyük rotorun çevirdiği küçük yardımcı diğer bir rotorla az çok iyi düzenlen kurulur. (Şekil 1 ve 2)

Motorlar: Yakın zamana kadar helikopterler, özellikle adapt edilmiş uçak motoru ile, kullanılmışlardır.

Halen şu gidiş gözükmektedir.

Pistonlu motor yerine gaz turbini koymak ve bir yerine birden fazla gaz turbini koymaktır.

Özetle büyük tonajdaki Helikopterlerde birden fazla gaz turbini yerleştirmek daha iyi sonuçlar verecektir.

Güçün Nakli: Tek rotoru, mekanik tertibatla çeviren bir yapıda, şu organlar vardır. Motor, Volan, ambreyaj (genellikle santrifüj) redüktör, rotor.

Rotor: Çok değişik rotor imalâtına rağmen bugünkü rotor pallerinde, gövdeye göre değişik eğilimlerde yönlenme imkânı veren ekimeler vardır. Bu, rotor diskinin değişmesini kontrol eden, örümcek veya dairesel tabla uçuş kumandalarına bağlıdır. Bu tertibat aynı zamanda pallerin hücum açısını ayarlayarak taşıma kuvvetini değiştirir.

Uçuş Komandaları: Helikopterin pilot yerine oturalım (Şekil 12) sağ el manşabale yi (1) tutarak rotorun yönünü değiştirir. Örneğin manşabayı öne iterse rotor ileri eğilir. Bu suretle Helikopter ilerler ve pikeye geçer. Sola itilirse Helikopter sola eğilir ve gider.

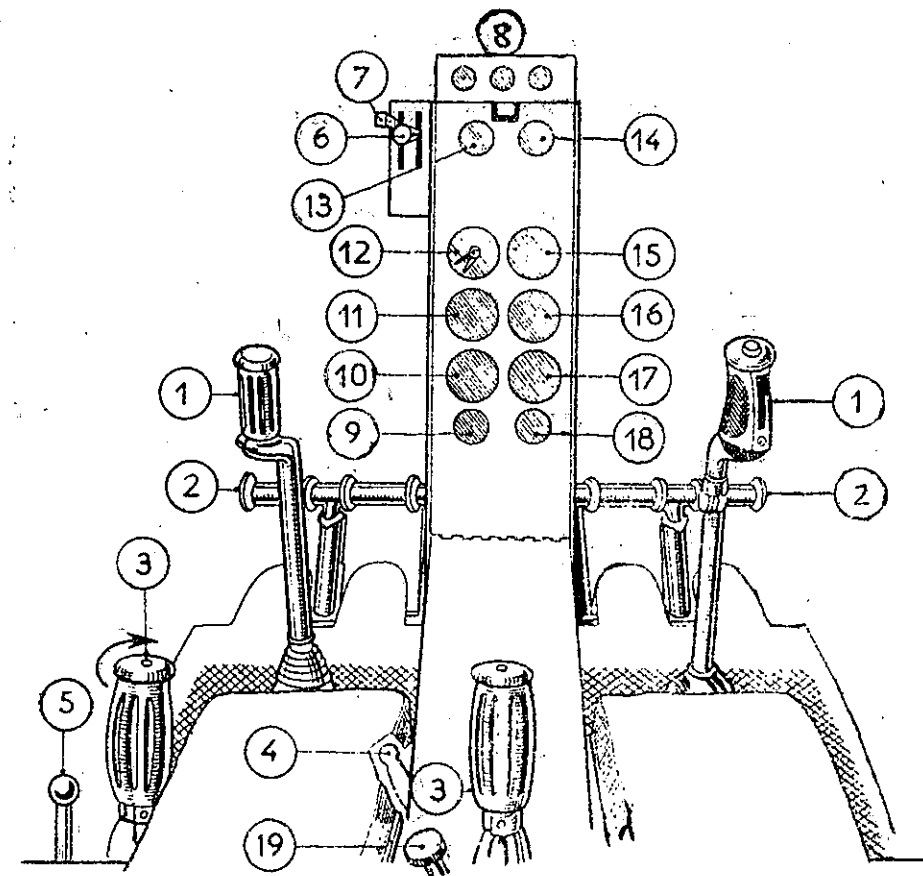


Sekil: 12 — Kombine deney helikopteri SO 1310 Farfadet

Sol el sürekli olarak puanyeyi (3) tutar bu puanye bir kol ucundadırki buna genel *hatve* manşı denir. Bu manşın yukarı ve aşağı hareketi, pallerin hep birden hücum açısını değiştirerek, rotorun taşıma kuvvetini değiştirir. Manş kaldırılırsa taşıma artar. Helikopter yükselir manş indirilirse Helikopter aşağı iner. Bu manşın ucundaki puanye gaza kumanda eder. Şekilde gösterilen yöne çevrilirse güç artar. Bu iki kumanda aynı manşadır. Bu suretle iki kumanda birden ayarlanır. Taşımayı artırmakla rotorun kuplu büyür motorun gazını da artırmak gereklidir. Müşterek kumanda (*hatvenin* gaz) sistemi ile beraberce çalışır yani *hatvenin* artması otomatik olarak gazı açar. Pilot puanyeyi döndürmekle yalnız düzeltme yapar.

Ayaklar palonyeyi hareket ettirir. Palonye yol yönünü değiştirmek için küçük kuyruk pervanesinin *hatvesini* değiştirir. Şayet rotorlar birden fazla ise aynı etkiyi yaratmak için palonye rotorları farklı etkiler.

Borda Aletleri: Hafif bir helikopter üzerindeki borda aletleri (Şekil. 13) de gösterilmiştir. Uçak üzerinde bulunan borda aletleri üzerinde durmadan önemli aletleri bildirelim.



11. Giriş Basıncı

10. Yağ Basıncı ve İsi

9. Akar Yakıt

8. Radyo Tablosu

7. Karbüratör Isıtması

6. Akar Yakıt Ayarı

5. Akar Yakıt Musluğu

4. Demarör

3. Pal Hatvesi ve Gaz

Palonye

Manş Abası

19. Kollektif Pal Hatve

18. Ampermetre

17. Silindir İsisi

16. Altimetre

15. Anemometre

14. Kontak Anahtarı

13. Karburatör HAVA İsisi

12. Takimetr-Motor ve Rotor

Şekil : 13 — Bir helikopterin pilot yeri

Devir Saati : İki göstergeli olup biri rotorun dönme sayısını diğer göstergesi ise motor dönüş sayısını gösterir. Kadran öyle hazırlanmıştır ki motorun döndürdüğü rotor ile beraber iki göstergenin normal hallerde birbirinin üstündedir.

Bu alet pallerin hızını kontrol etmekle uçakdaki anemometreye benzer.

Pilotaj : Helikopter pilotunun yapması gereken bazı manavraları sıralayalım.

— Motorun işletilmesi (rotor ambreye olduğundan dönmez).

Motoru ambreye edilerek yavaş yavaş hızlandırılması ile rotor normal rejime senkronize durumuna gelir. Rotorda küçük *hatveli* dönüş yaptığından taşıma kuvveti azdır.

Kalkış : *hatve* ve gaz arttırılarak helikopterin yerden kesilmesi sağlanır.

Dikey Uçuş : Helikopter normal durumda dengesizdir. Bu bakımından pilot manşabaleye dokunmaz ise tekne sallanmağa, bulunduğu durumdan hızla yatmağa başlar. Sürekli olarak pilotun bu gidişi önlemesi gereklidir ki bu hal helikopter pilotajında görülen müşküllerden biridir. Diğer bir zorlukda, pilotun sürekli olarak rotorun dönme sayısını kontrolü altında bulundurmasıdır.

Bütün uçuşlarda, rotor dönüş sayısını, pilotun aynı tutması gereklidir, hiç olmazsa iki sınır arasında kalmalıdır.

Maksimum Rejim : Motora verilmesi gereklidir en yüksek dönüş sayısı ve rotorun santrifüj kuvvetlere dayanabilme sınırlıdır.

Minimum Rejim : Motor gücünün kifayetsizliği sonucu rotorun taşımayı kaybetmesidir. ki bu durum uçakta hız kaybı demektir.

Örneğin : Rotor dönüş sayısını dakikada

Motor ile — mini. rejim 320, maks. rejim 350

Motorsuz — mini. rejim 290, maks. rejim 360

Yükseliş ve Gidiş : Rotoru öne eğerek helikoptere hız verilirse pilotajı uçak pilotajına benzer ancak toslama dengesi çoğunlukla kötüdür.

İniş : Motor ile veya motor ralenti de inişir. Bu son durumda rotor otorasyon döner ve motor rejiminin üzerinde olur. Başarmak için rotorun hücum açısının küçültülmesi yani *hatvenin* küçük olması gereklidir. Her iki inişte iniş yönü dikey olmayıp 30° — 60° derecelik eğimdedir. Böylece yapılan inişte hem iniş hızı az olur ve hem de tekne kolay pilote edilir. Motor pan yapınca rotoru otorasyona geçirerek emniyetli iniş yapılabilir. Önemli olan, motorun pan yaptığı andan bu yana 2 saniyeyi geçirmeden rotorun *hatvesinin* indirilmesi zorunluğudur.



Şekil — 14 Hava bisikleti HILLER

dur. Yoksa rotorun dönüş sayısı azalır. Yere oturmada rotor pallerinin sinetik enerjisinden faydalанılır.

Özel Tipler : Buraya kadar klasik helikopter tiplerinden söz ettik. Şimdide üstünde az çok araştırma yapılmış yeni tiplerden bazılarını görelim.

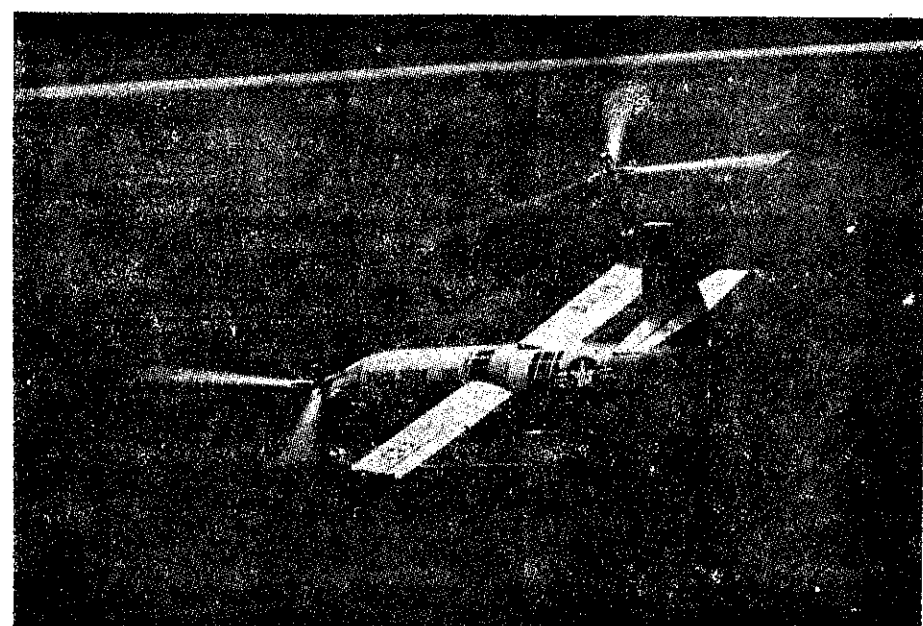
Tek Kişilik Helikopter : Bunlar ya klasik helikopter gibidir. (Şekil. 14) veya uçan tablaya benzer. (Şekil. 15)



Şekil : 15 — Uçan Platform Hiller

Sonuncuda rotor pilotun altında olup dengisini pilot vücutunun doğal reflekslerine göre oynaklışı sağlar. Düşünülen teknenin sade olmasıdır. Bu tip tekneler seri imalata geçmiş değildir.

Birleşik Helikopterler : (Şekil. 12) de FARFADET birleşik helikopteri görültür. Rotor tepkili itici ile kalkış ve iniş yapar. Uçuşa ise rotor otorotasyon yapar. Teknenin ucuşu pervane ile sağlanır. Teknede iki turbün bulunur. Biri rotoru biri pervaneyi çalıştırır.



Şekil : 16 — Konvertibl Bell XV — 3

Konvertibl : (Şekil. 16) da görüldüğü gibi BELL helikopterinde yan yana iki rotoru olup düşey aksler etrafında dönerek iniş ve kalkışı sağlar ve 90° derecede dönerek pervane gibi düz uçuş yapar. Rotorlar mekanik olarak döndürülür.

Şimdiki Helikopterlerin Performansları : Bir çok ülkelerde yapılan prototip ve seri helikopterlerin performanslarını (Cilt II) (Ek. I) de görebilirsiniz.

Helikopterin Kullanışları : Bu eserde çok çeşitli kullanış işlerini her yönden anlatacak değiliz, hepimiz bu yönde bilgi sahibiyiz. Değişik kullanma yerlerinden üçünü anlatmakla yetineceğiz.

Kaldırımda Kullanma: Dikey uçuş yapan helikopterler çok uzak olmayan ve fakat erişilmesi zor olan yerlere ağırlıkların taşınmasında kullanılır. Bu nedenle helikopter kamyon, katır, gemi ve kaldırma makinelerinin yerini alır. Daha kolay ve daha hızlı olarak bu kolaylıklar sağlar. Örneğini de, dağ şantiyelerine eşya ve yiyecek taşımak, gemilerin boşaltılması kurtarma ve diğerlerini söyleyebiliriz.

Yavaş Uçuşlarda Kullanma: Helikopterin az hızlarında emniyetle uçuşu hafif uçakla bu çeşit alanda kolaylıkla rekabet eder. Yere yakın veya arızalı yerlerde alçaktan uçuş, tarım ilaçlaması, yüksek tansiyon kablolarının kontrolü, petrol borularının kontrolü trafik kontrolü gibi.

Nakliye İşlerinde Kullanma: Dar yerlere veya iyi hazırlanmamış yerlere kolayca iniş kalkış yapmasile helikopter uçağın işini yapar. Böylece, sivil ve asker sağlık işleri, zelzele, su baskını gibi felaketlerde nakil işlerine yardım, bir şehrin ortasından diğer bir şehrin ortasına yolcu nakli, gibi başlıca kolaylıklar sıralanır.

Belirtelim ki bu işlerin helikopterler tarafından yapılması basit de olsa bazı kaidelere bağlıdır.

- Herseyden evvel her helikopter her işi yapamaz.
- Özellikle helikopter pahalı bir araçtır. İşaret edelim ki bir saat-

lik uçuş bedeli 120 A.B.D. doları ile 170 dolar arasındadır. Bunda başka helikopterin kullanılması için kalifiye personele ve iyi bir organizasyona lüzum vardır.

Şu halde başka türlü yapılamayan veya çok çabuk yapmak istenen işlerde helikopterin kullanılması düşünülmelidir.

Asker Kullanımları: Kara kuvvetlerinde, irtibat, sağlık hizmetleri, asker nakil işleri, atış kontrolü, güdümlü atışlar, hafif silahlar, işlerinde kullanılır.

Deniz kuvvetlerinde; deniz altı savaşında (arama, saldırısı), uçak gemilerinde kurtarma ve diğer işlerde kullanılır.

Ceşitlit helikopterlere ait Planslarda yukarıda bahis konusu olan tipler görülmektedir. (Plans 1 — 8)



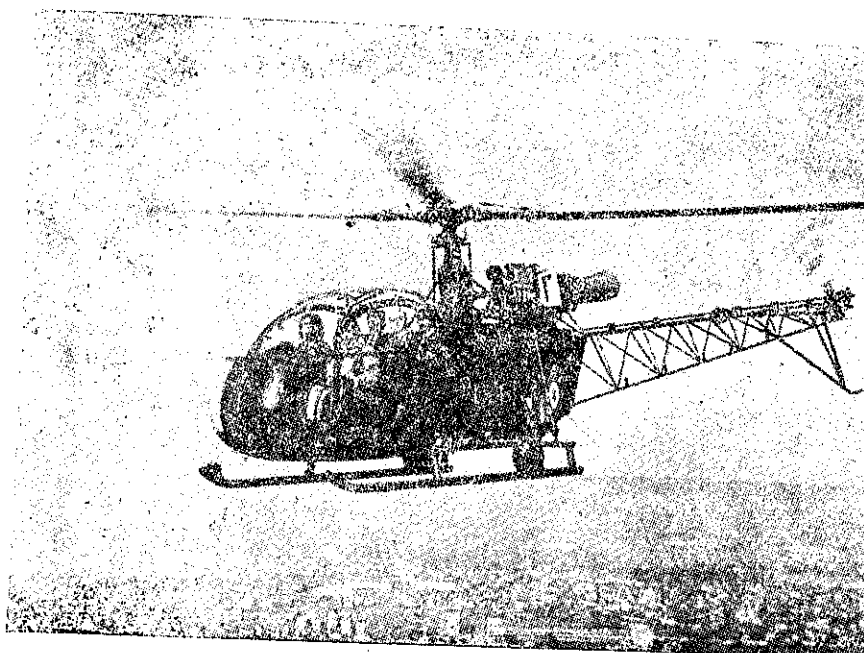
Plans I — 1 Sikorsky S-61N Geniş ve hızlı Helikopter



Plans I — 2 BELL AH-1G Asker Helikopteri



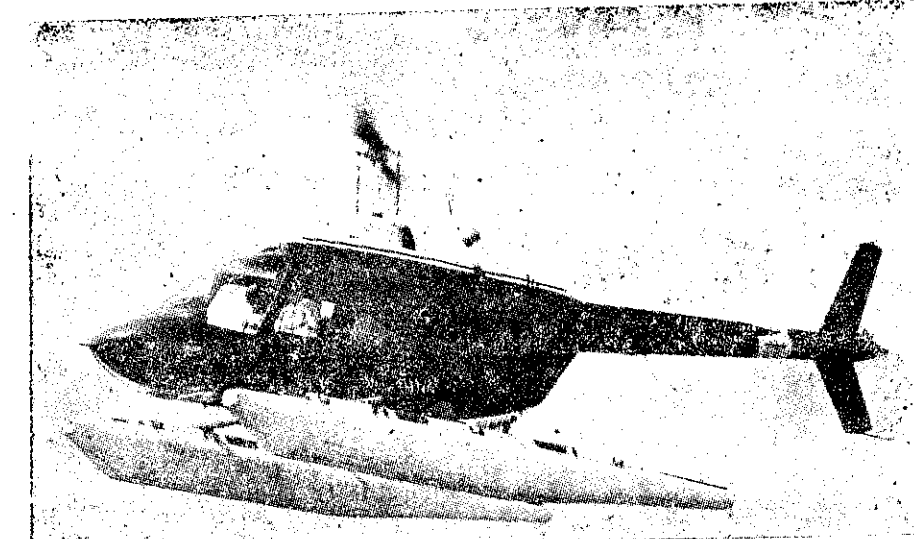
Plans I — 3 SUD - AVIATION SA 341 5 kişilik Türbinli,
Anti kupl kuyrukta karene edilmiştir.



Plans I — 4 ALOUETTE II Türbin ile dönen rotor



Plans I — 5 4-5 kişilik yüksekde uçuş Helikopteri
AGUSTA - BELL 47 J - 3 BI



Plans I — 6 Flotörlü amfibî AGUSTA LB 206 A



Plans I — 7 AGUSTA 101 G



Plans I — 8 SIKORSKY Helikoplerinin sudan kalkışı

AERODİNAMİK

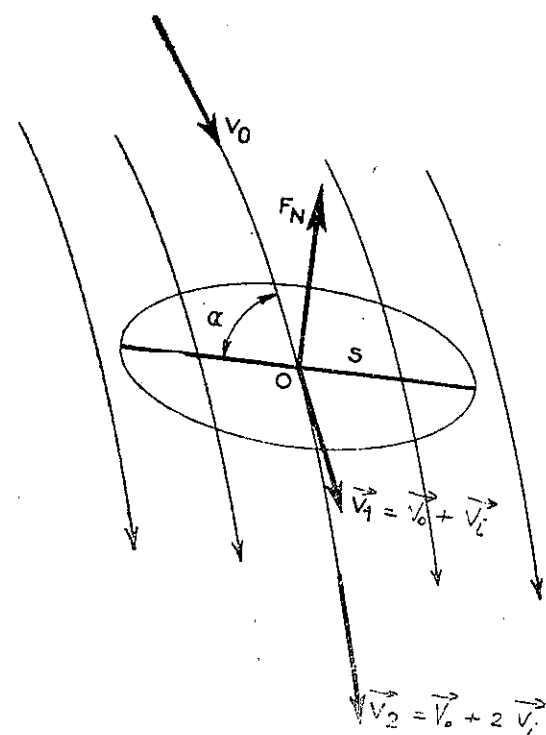
Helikopter teorisi genellikle aerodinamik kanunlarına dayanırsa da yine de kendine mahsus özel terimleri getirecektir.

Rotor bir taşıyıcı kanad değildir. Pervane de değildir. Bunlarla kıyasılsak şu farkları görürüz.

- Diske gelen yük çok azdır.
- Aks yönünde hız azdır
- Havaya göre, herhangi bir yönde, aşağı yukarı, yatay ve eğri hareket eder.

Genellikle helikopterin aerodinamik analizi, tamamen memnun edici sonuç vermekten uzaktır. Şimdiye kadar elde birçok deney sonuçları ve teori varsa da bunlar kopuk bilgiler halinde ve şüphe ile karşılaşacak mahiyettedir. Bir yazardan diğerine bir birini tutmaz sonuçlar ve görüşler bulmak sizleri şaşırtmasın. Bununla beraber, bu eserde en müناسip gördüklerimizi sıralayacağız. Daha çok rotorun aerodinamigi üzerinde duracak, bir az da gövdeninkinden söz edeceğiz.

Taşıyıcı Disk Teorisi :



Şekil — 17

Mü kummel gaz, sürtünme basınçla değişmez kabul edilmişdir.

$$\text{Taşıma Normal} \quad \rightarrow \quad F_N$$

$$\text{Hız Sonsuzda ve Girişte} \quad \rightarrow \quad V_0$$

$$\text{Hız Sonsuzda ve Çıkışta} \quad \rightarrow \quad V_2$$

$$\text{Rotor Alanı} \quad S$$

$$— \text{Sonsuzda basınç uniform}$$

$$— \text{Rotordan geçen hava debisi muayyendir } Q \text{ ve } \vec{V}_1, \vec{V}_2 \text{ uniformdur.}$$

$$\text{I} \quad Q = \rho s \left| \vec{V}_1 \right| \text{ bu bir kabuldür.}$$

Bu Q rotordan geçen debi değildir, zira \vec{V}_1 , S 'e dikey değildir.

gerçekde debi $\rho S(\vec{V}_1) \sin \alpha$ dir..

Hareket miktarı teoremine göre

$$\text{II} \quad \vec{F}_N = -Q (\vec{V}_2 - \vec{V}_0)$$

Rotor üzerinde sarf edilen gücü P dersen

$$P = -\vec{F}_N \times \vec{V}_1 \text{ olur.}$$

Tarif olarak (endüvi hız) rotor alanında,

$$\vec{V}_i = \vec{V}_1 - \vec{V}_0 \text{ dir.}$$

Deney ve teori gösterir ki yakınlıkla \vec{V}_i S 'e dikeydir.

$$\text{III} \quad P = -\vec{F}_N \times (\vec{V}_0 + \vec{V}_i) \text{ olur.}$$

Buradan çıkan sonuçlar şunlardır.

1 — Rotora verilen güç + dir. Şayet hava aşağıdan yukarı çıkarsa

$$-\vec{F}_N \times \vec{V}_i > 0$$

Tersine olursa hava, rotora güç verir. (Yel değirmeni)

2 — P iki terim'den teşekkür eder. $P = P_{v_0} + P_i$

İtiş Gücü : $-\vec{F}_N \times \vec{V}_0$, \vec{F}_N kuvveti havada V_0 hızı ile seyrederken yaptığı iştir.

Endüi Güç : $P_i = -\vec{F}_N \times \vec{V}_i$, \vec{F}_N kuvvetini temin için yapılan masraftır.

P gücünü diğer şekilde hesaplaysak ve

$P_1 = P_2$ basınçları eşit kabul edersek

Havanın kinetik enerji değişimi,

$$\text{IV} \quad P = \frac{1}{2} Q (\vec{V}_2 - \vec{V}_0)^2 = \frac{1}{2} Q (\vec{V}_2 - \vec{V}_0) (\vec{V}_2 + \vec{V}_0)$$

den

$$\text{V} \quad P = -\vec{F}_N \times \left(\frac{\vec{V}_0 + \vec{V}_2}{2} \right)$$

$$\vec{F}_N \times (\vec{V}_0 + \vec{V}_2) = \vec{F}_N \times \left(\frac{\vec{V}_0 + \vec{V}_2}{2} \right)$$

$$\vec{F}_N \times \vec{V}_i = \vec{F}_N \times \frac{\vec{V}_2 - \vec{V}_0}{2}$$

\vec{V}_i ve $\vec{V}_2 - \vec{V}_0$ ikisi de \vec{F}_N 'e paralel olduğundan, endüi hız, çıkış sonsuzunda Rotordaki endüi hızın iki mislidir.

$$\vec{V}_i = \vec{V}_2 - \vec{V}_0$$

$$\vec{V}_i = \frac{\vec{V}_0 + \vec{V}_2}{2}$$

diski kat eden hız, çıkış ve giriş sonsuzdaki hızların aritmetik ortalamasıdır.

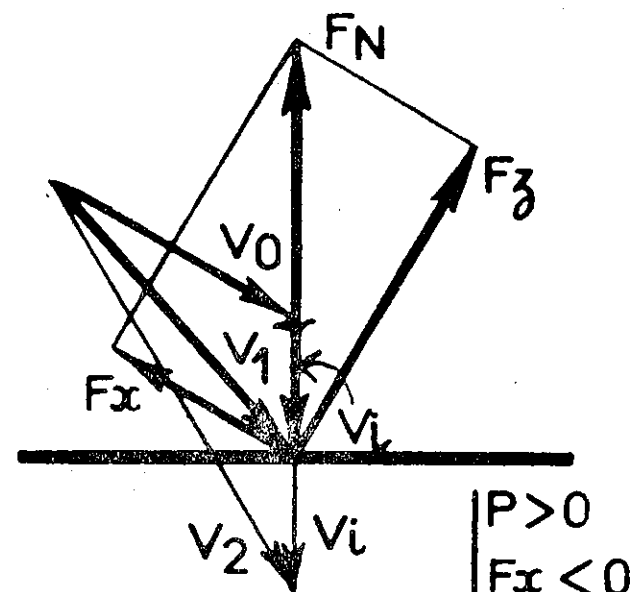
$$\text{VII} \quad \vec{F}_N = -2\rho S |\vec{V}_0 + \vec{V}_i| \vec{V}_i \quad \text{olurken,}$$

Rotor teorisinin esas denklemidir.

$\vec{V}_0, \vec{V}_1, \vec{V}_2, \vec{F}_N$ arasındaki bağlantıları bildiğimize göre, rotorun çalışmasına ait değişik rajimleri ettiğ edebiliriz.

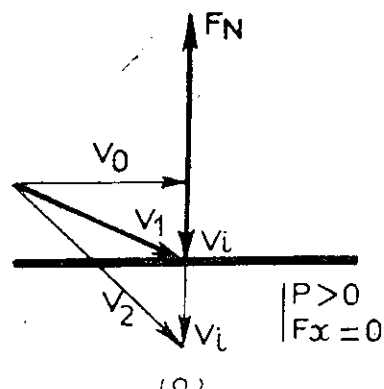
\vec{F}_N kuvveti V_0 yönünde ve ona dik yönde F_x ve F_z bileşenlerile gösterilirse :

$F_x > 0$ olursa rotor sürüklər veya sürüklemeye mukavemet eder, (otojir hali) (Şekil. 21)

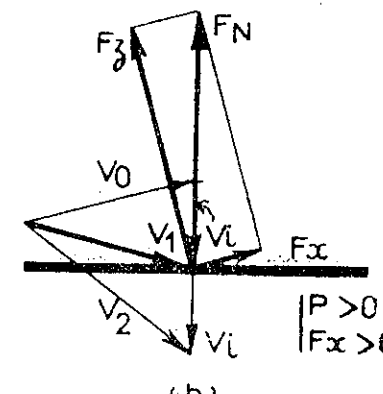


Şekil: 18 — Helikopter rejimi

$F_x < 0$ olursa rotor iticidir (Şekil 18) (ileri yürütülür)



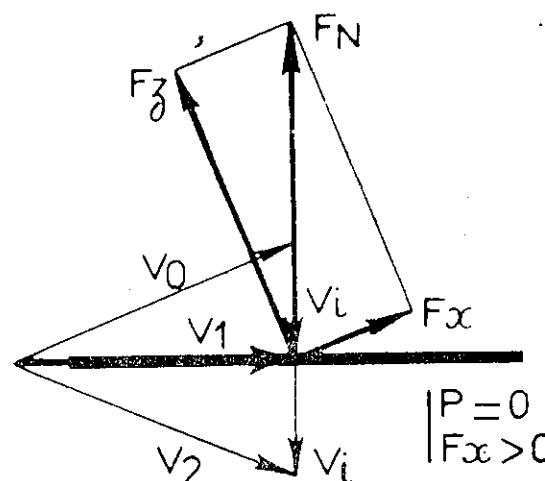
Şekil : 19 — Girodin Rejimi



Şekil: 20

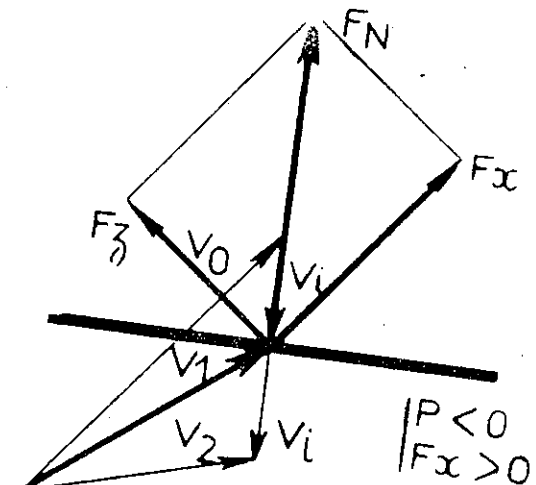
Helikopter (pervane) Rejiminde : $P > 0$ ise rotora enerji vermek lazımdır. Hava akımı yukarıdan aşağıya doğrudur. Sarf edilen enerji havaya kinetik enerji verir. $F_x < 0$ ise, taşıma kuvveti, itici bir bileşene sahiptir, bu da pratikte ya helikopteri yükseltir veya parazit sürükleme kuvvetlerini dengeler.

«Gyrodyne» Rejiminde : Rotor taşırl $P > 0$ dır. Lâkin $F_x = 0$ (Şkil. 19) sürükleme 0 dır hatta hafifce pozitif olur. (Şkil. 20)



Şekil: 21 — Otojir Rejimi

Örnek : «Gyrodyne» veya motor ile helikopterin inişi olup rotor, karşı moment husule getirir. (Şkil. 21) hali, ideal otorotasyona tekabül eder. $P = 0$ $F_x > 0$ Rotor üzerinde güç $P = 0$ dır. Taşıma F_z olup

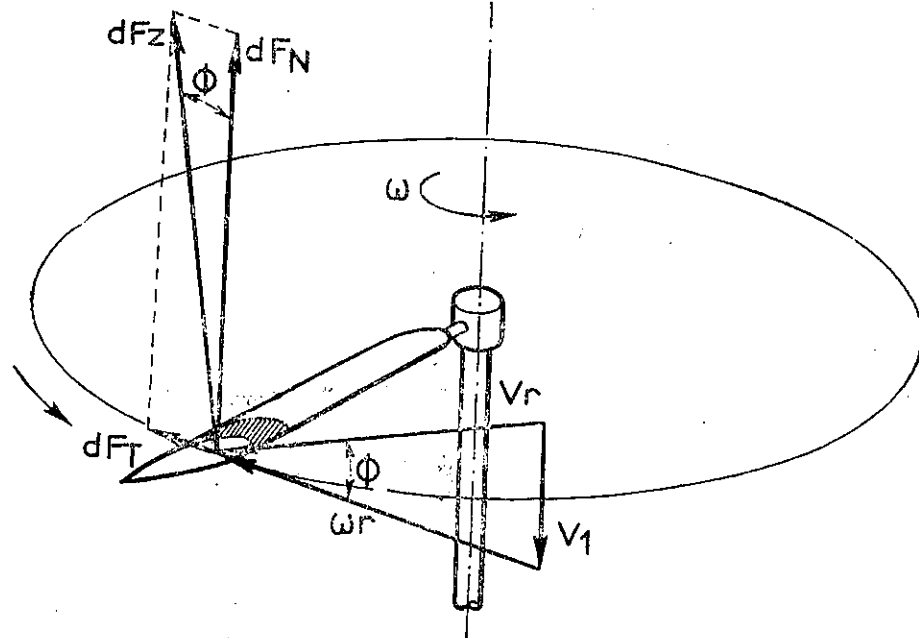


Şekil: 22 — Moline - Fren Rejimi

endüi sürüklemeyi de F_x karşılar (Kanat açılığı muayyen olan bir kanal gibi)

Örnek : Otojir, otorotasyon halindeki helikopter, ihlamur tohumunun serbest düşüş hali gibidir.

Firenlenen Rotor : (Şkil. 22) rejimi (Monlinet-Frein) rotor havadan enerji alır. $P < 0$ $F_x < 0$ hava, rotorun aşağıdan yukarı yönünde akar. Ve hava enerji kinetik kaybeder. (irtifa kaybeder)



(Şekil: 23)

Örnek: Yel değirmeni, hakiki otorotasyon (sürtünme ile döner)

Buraya kadar işleme şekilleri; gayet basitleştirilmiş teori içinde izah edilmiştir.

Bu etüdüin başında anlattığımız gibi \vec{V}_1 ve \vec{V}_2 hızları ortalama değerler olup taşıma kuvveti ve gücün hesabında kullanılır. Lâkin bir noktadan diğerine değişen mahalli ve hakiki hızları göstermekten uzaktır.

Diger taraftan hakikiki rotor, yukarıda anlattığımız ideal şemadan farklıdır.

1°) Yukarıda hesap ettiğimiz güce, rotor pallerinin profil sürüklemesini ilâve etmemiz gereklidir.

2°) İleride menşeyini anlatacağımız endüri kaybı (pertes induites) gözönüne almamız gereklidir.

3°) Hava gaz parfe değildir: Yukarıdaki hesap usulleri yaklaşık hallerde memnun edici hesap neticeleri verirse de özel hallerde sürütme dolayısı ile hava, gösterilen yönleri takip etmez. Hakiki akış teorinin verdiği akımlara göre çok değişik olur ve yukarıki formüller kaba yanlışlıklara sebep olur. Bu nedenle yavaş iniş hızlarında halka turbiyon rejimini dikkate almak gereklidir.

Taşıyıcı Disk Teorisini Hakkı Gösterecek Özellikler :

Değişik uçuş hallerinin ayrıntılı etüdüne geçmeden evvel taşıyıcı disk teorisinin hangi ölçüler içinde kullanılabilceğini anlatalım.

Gerçekte taşıma kuvveti rotor tarafından taranan disk üzerinde aynıile dağılmış değildir daha ziyade rotor palleri üzerinde toplanmıştır.

Basınçlara ve endüri hızlara gelince; uzay içindeki noktalarda sabit olmayıp, periyotlu olarak değişmektedir. Bu değişim pallerin frekansları ile orantılıdır. Bu bakımdan iki önemli gözlem vardır.

1°) Akımın periyotlu özelliği, sıkı olarak akışkanın rotordan geçirisindeki toplam basınç $\left(\frac{F_N}{S}\right)$ e bağlıdır.

2°) Taşıyıcı disk teorisı, hakiki akımın değişen periyodik değerinin ortalama değer ile değiştirilmesini kabul eder. Burada, bahis konusu fizik değerlerin tam değerleri üzerinde açıklık yoktur. Filhakika, değişik hallerde göre hızlar ortalama hızlar ile gösterilir.

— Taşıma kuvveti hesabında hareket miktarı alınan ortalama hızlar

$$\int_0^T \frac{\vec{V} dt}{T}$$

olarak alınır.

— Ortalama kuadratik hızlar

$$\sqrt{\frac{\int_0^T \vec{V}^2 dt}{T}}$$

olarak güç hesabında kabul edilmiştir.

$$(Kinetik enerji değişimi) P = \frac{1}{2} Q (\bar{V}^2 - \bar{V}_0^2)$$

Bu iki değer birbirinin aynı olmayıp fark, hız modülasyonun oranına tabidir.

Taşıyıcı disk teorisi pratikte hız modülasyonunun küçük olmasından dolayı bir değer taşır. Zira endüii hızlara göre rotorlar hızla döner.

Hakiki rotor üzerinde, esas kanununu doğrulayacak olan hususları gösterelim ve bu konuyu bitirelim.

$$P = -\vec{F}_N \times \vec{V}$$

Düşey uçuş halinde bir rotor düşünelim.

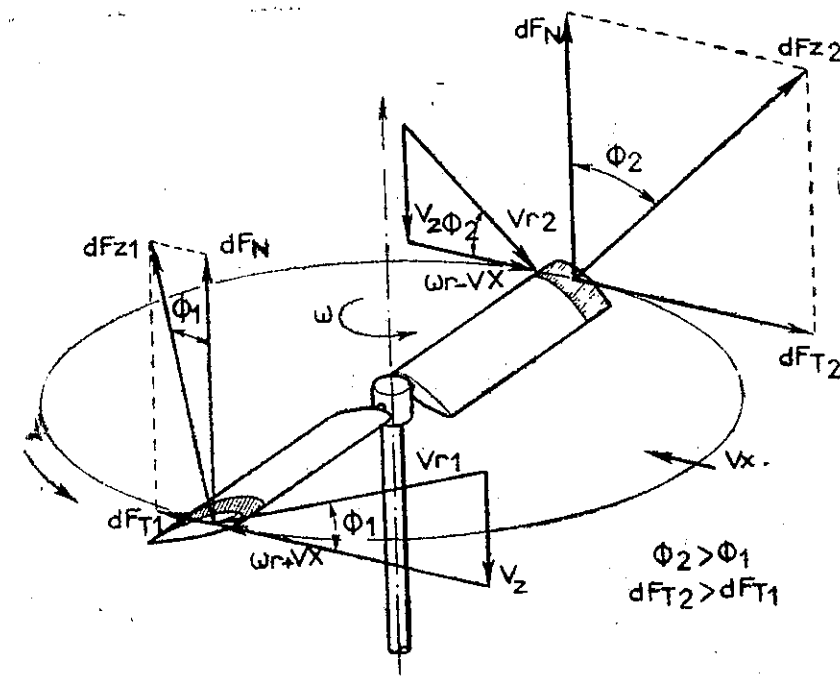
Palın bir elemanın toplam hızını \vec{V}_z olarak kabul edelim. \vec{V}_z
 hızı, \vec{V}_1 hızı ile $-wr$ hızı, yani elemanın bulunduğu yerdeki dönüş
 hızı olan $-wr$ hızı, toplamına eşit olsun.

Havayı tam gaz kabul edelim ve pal elemanına isabet eden taşıma
 dF_z ile gösterilirse, dF_z kuvvetine \vec{V}_1 diktir. dF_z in bileşenleri,
 pal elemanın çizdiği daireye teğet ve buna dik yönlerde gösterilirse
 (Şekil 23)

$$\begin{aligned} dF_N &= dF_z \cos \phi \\ dF_T &= dF_z \sin \phi \end{aligned}$$

$$\operatorname{Tg} \phi = \frac{V_1}{\omega r}$$

buradan



(Şekil : 24)

$$\frac{dF_T}{dF_N} = \operatorname{Tg} \phi$$

$$dp = -F_T x \omega r = -dF_N x \omega r \operatorname{Tg} \phi = -dF_N x V_1$$

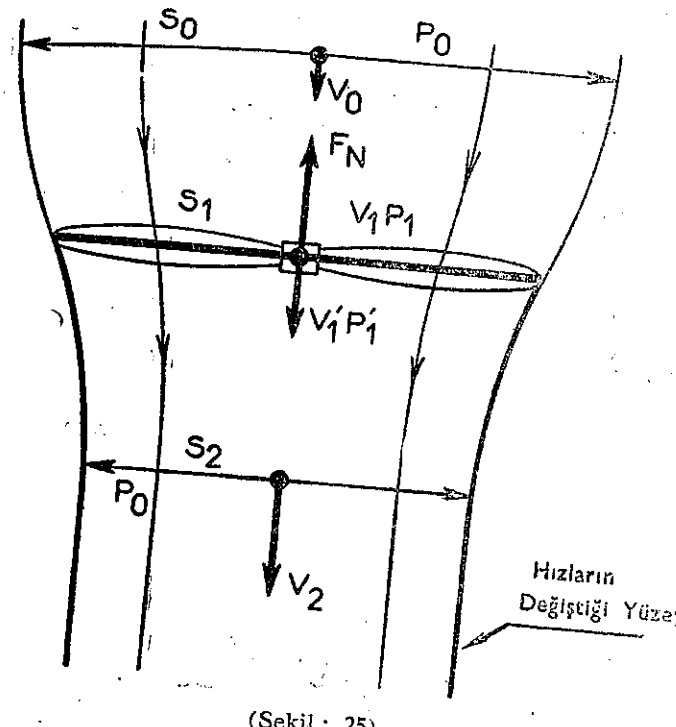
Bu formülü entegre edersek

VIII $P = -F_N \times V_1$ denklemini buluruz. Buradan hususile anlışılmak ki $P=0$ olursa otorotasyon mekanizması olur ki, pal üzerine gelen momentlerin toplamının 0 olduğunu gösterir. Yani

$$P = \int_s dF_N V_1 = \frac{F_N}{S} \int_s V_1 ds = 0$$

demektir ki $\int_s V_1 ds = 0$ olduğundan rotoru kesen hava filelerinin toplamı 0 dir. Fakat lokal olarak S yüzeyinden geçen hava fileleri bir yönden veya ters yönden gelir.

Genel halde rotor yüzeyine paralel geçen bir V_x hava hızı bileşeni bulunursa, meseleler biraz karışır, zira simetrik olan pal üzerinde:



(Şekil : 25)

deki iki elemana (Şekil. 24) gelen sürükleme kuvvetleri eşit olmaz. Bu taktirde bir moment ve bir de rotorun gidiş yönüne paralel bir kuvvet husule gelir.

Buradan rotor yüzeyinde bir itici endüii kuvvet doğar ki, taşıyıcı disk teorisinin dışına çıkar.

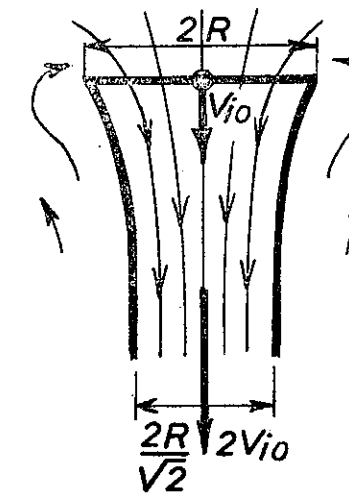
Hesap kolaylığıla gösterir ki, rotorun çektiği güç, bu halde de $-F \times V_i$ olur burada F , toplam F_N ile yukarıda yazdığımız yatay endüii bileşenin toplamıdır. Bu endüii bileşen çok küçük olup, genel olarak ihmal edilir.

Değişik Uçuş Rejimlerinin Etüdü :

Düsey Uçuş Hali :

Bu uçuş halinde rotor kendi dönüş aksına paralel olarak hareket eder. Uçaklarda pervanenin hareketi gibi. Şu halde FROUDE teorisine göre inceleyelim.

Turbiyon teorisi de, ilâvesi gereklî bazı düzeltmeleri açığa çıkarmağa yarayacaktır. Akım düzenli bir hortum içinde olur, bu hortumun kenarları, diskten sonra, geri kalan atmosfer ile hava hızlarının devamsızlık arz eder. (Şekil. 25)



Teorik Akım

Şekil: 26

Hortumun hız ve enerji değişimi, taşıma ve rotor üzerindeki güç arasındaki münasebetleri hesaplamaya yarar.

Teoride şu kabulleri yapacağız :

- rotor sonsuz sayıda palleri hâvidir.
- rotorun diskî sonsuz değerde bir inceliktedir.
- havanın rotor aksi etrafındaki dönüsü ihmal edilir orandadır.

- akışkan parfe dir, tamdır.
- itiş ve hızların disk üzerindeki yayılımı üniformdur.

Bu suretle :

P_0' , V_z' , S_0	basınç, hız ve kesitin, hortumun sonsuzda ve girişteki değerleri.
P_1' , V_1' , S	Aynı değerler girişte disk üstünde.
P_1' , V_1' , S	Aynı değerler çıkışta ve disk üstünde.
P_2 , V_z , S_2	Aynı değerlerin sonsuzda ve çıkıştaki değerleri

hızları aşağı doğru + ve taşımaları yukarı doğru + olarak alırsak denklemler :

$$V_1 = V \quad (\text{debinin devamlılığı nedenile})$$

$$Q = \rho S_0 V_z = \rho S V_1 = \rho S_2 V_2 \quad (\text{debinin devamlılığı nedenile})$$

$$p^2 = p_0 \quad (\text{çıkışın sonsuzunda akımın dengede olması})$$

$$p_0 + \frac{1}{2} \rho V_z^2 = p_1 + \frac{1}{2} \rho V_1^2 \quad (\text{Bernoulli Kanunu})$$

$$p_0 + \frac{1}{2} \rho V_z^2 = P'_1 + \frac{1}{2} \rho V_1^2 \quad (\text{Bernoulli Kanunu})$$

diğer taraftan :

$$F_N = S(p'_1 - p_1) \quad \text{dir.}$$

bunu son iki Bernoulli denklemi ile birleştirirsek,

$$X F_N = \frac{1}{2} \rho S (V_z^2 - V_1^2) \text{ olur.}$$

diger taraftan M hareket miktarı teoremine göre edilirse,

$$\text{XI } F_N = Q (V_2 - V_z) = \rho S V_1 (V_2 - V_z)$$

yukarıdaki iki denklem ile karşılaştırırsak

$$2 V_1 (V_2 - V_z) = V_2^2 - V_z^2$$

buradan

$$V_1 = \frac{V_2 + V_z}{2}$$

bulunur ki bu özel hal için evvelce bildirdiğimiz genel hal bulunmuş olur. Bu münasebetler boyutsuz değerler ile şöyle de yazılabilir.

Güç,

$$F_N = 2 \rho S | V_1 | (V_1 - V_z) = 2 \rho S | V_z + V_i | V_i$$

$$P = F_N \cdot V_1 = F_N (V_z + V_i)$$

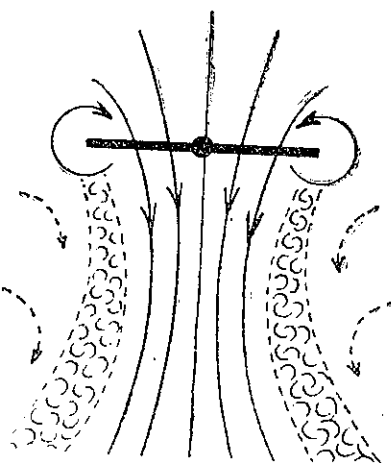
XII

$$\frac{S_0}{S} = \frac{V_1}{V_z} = 1 + \frac{V_i}{V_z}$$

$$\frac{S_2}{S} = \frac{V_1}{V_z} = \frac{1 + \frac{V_i}{V_z}}{1 + \frac{2V_i}{V_z}}$$

bu denklemlerin yardımcı ile sabit uçuş, çıkış ve iniş hallerini inceleyelim.

Sabit Uçuş Hali: $V_2 = 0$ (Şekil. 26) (Şekil. 27)



Hakiki Akım

Şekil: 27 — Sabit uçuş

XII denklemleri yardımı ile

$$F_N = 2\rho S V_{i_0}^2 \text{ ya da } V_{i_0} = \sqrt{\frac{F_N}{2\rho S}}$$

$$P_{i_0} = F_N V_{i_0} = 2\rho S V_{i_0}^3 = F_N \sqrt{\frac{F_N}{2\rho S}}$$

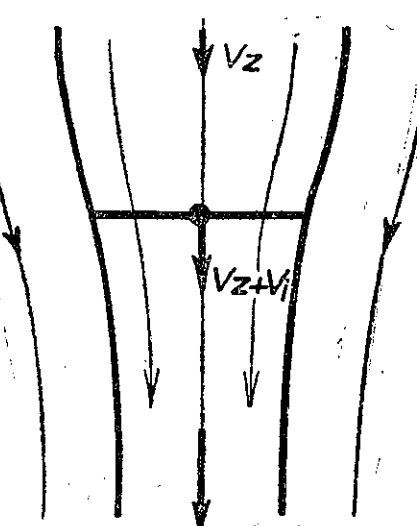
XIII

$$\frac{S_0}{S} = \infty$$

$$\frac{S_2}{S} = \frac{1}{2}$$

elde edilir. V_{i_0} teori kendisi hız, sabit uçuş hali ve aynı taşıma kuvveti N için referans hızı olarak alınmıştır.

(Şekil. 26) da işaret edilen duruma göre akım hakiki akımdan (Şekil. 27) havanın viskozitesi dolayısı ile az farklıdır. Viskozite rotordan geçmeyen havayı kısmen sürüklüyor ve hava hızlarını yekdiğerine yakın hale getirmeye çalışır. Bu suretle rotordan geçen hava hortumu içindeki hava hızı azalır, hortum çapı büyür. Çıkışta ve sonsuzda, taşıma kuvetine eşit olan hareket miktarı değişmez. Yalnız havanın



Şekil: 28 — Çıkış

toplam enerjisi azalır. Çünkü bir kısım enerji sürüünme ile kaybolur.

Bu olay rotorun performansına önemli bir tesir icra etmez. Lâkin diğer faktörler, rotorun aldığı gücü, yukarıdaki denklemlerde gösterilen değerden daha fazla yapar.

Bu faktörler yani gücün artmasına sebeb olanlar, pal'ın sürükleme kuvveti ve endüii zayıflatın sonuçlarıdır.

1°) Hortumun sınırlarındaki ayrılma tabakası sonsuz incelikte değildir. Bu tabaka bir kahnlık arz ederek rotorun faydalı yüzeyini azaltır. Bunlar pallerin uç kayiplarıdır ki ileride tam sebebini anlatacağız.

2°) Endüii hız, kabul ettiğimiz gibi, hiç bir zaman her yerde aynı değildir. Bundan başka endüii hızın teget bileşenleri de vardır.

Teget hızlar ihmali edilirse, endüii hızın yayılımı aynı olursa muayyen bir taşıma kuvveti temin için daha az güçe lüzum gösterir. Böyle olacağı aşikâr olmakla beraber isbatı da kolaydır. Bu halden uzaklaşıldığı oranda endüii güçte artmış olur. Teget hızlara gelince, çıkışta ve sonsuzda havanın dengesini incelediğimiz zaman taşıma kuvvetini azaltan basınç azalması görülür. Rotorun aldığı güç ise değişmez.

Aynı Çapta İdeal bir FROUD Rotoru ile Hakiki yani Kullanılan Rotorun Tesir Derecesini Mukayese Edelim.

Endüii Nitelik: (pal uçları kaybi ve endüii hızın üniform olması)

$$\eta_{i_0} = \frac{P_{i_0}(\text{Teorik endüii güç})}{P'_{i_0}(\text{Hakiki endüii güç})} = \frac{F_N}{P'_{i_0}} \sqrt{\frac{F_N}{2\rho S}}$$

Rotor üzerinde sarf edilen hakiki toplam güç P_T alınırsa «taşıma kalitesi»

$$\eta_S = \frac{F_N}{P_T} \sqrt{\frac{F_N}{2\rho S}} \text{ olur.}$$

Buradaki η_i ve η_S biri diğerinden küçüktür. Rotor ne kadar tam mükemmel olursa bu değerlerin de biri diğerine o kadar yaklaşır.

Tatbikatta bu değerler;

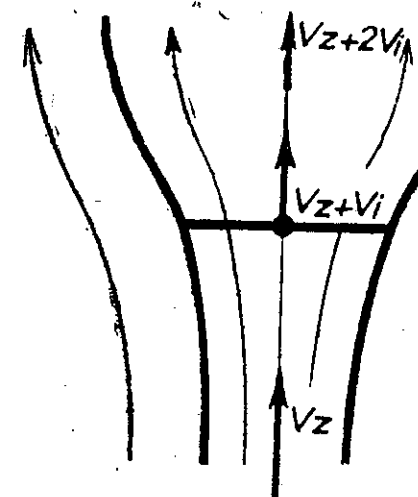
$$\eta_i = 0,8 \text{ ile } 0,9$$

$$\eta_s = 0,6 \text{ ile } 0,8$$

arasında değişir. P_i ile P_T arasındaki fark profil sürüklemeden ileri gelir.

Dikey Yände Çıkış : $V_z > 0$

Hava akımı sabit uçuş haline çok benzer (Şekil. 28)



Şekil: 29 — Mulin - Fren olarak hızlı iniş

XII denklemeleri $V_z > 0$ hali için yazılacak olursa, boyutsuz durumda referans hızı olarak V_{i0} teorik endüri hız, sabit uçuş ve aynı taşıma kuvveti F_N için alınırısa :

$$XVI \quad V_{i0} = \sqrt{\frac{F_N}{2 \rho S}}$$

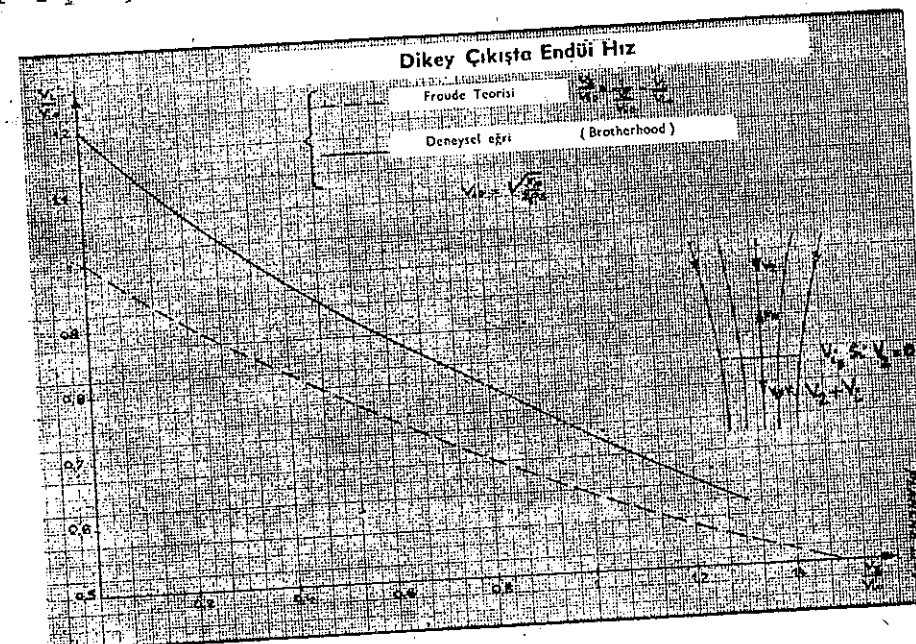
$$\left(\frac{V_z}{V_{i0}} + \frac{V_i}{V_{i0}} \right) \frac{V_i}{V_{i0}} = 1$$

$$P = F_N \cdot V_{i0} \left(\frac{V_z + V_i}{V_{i0}} \right) = P_{i0} \left(\frac{V_z}{V_{i0}} + \frac{V_i}{V_{i0}} \right)$$

V_z in küçük değerleri için,

$$XVI \quad P = \frac{P_{i0}}{\frac{V_i}{V_{i0}}} \text{ olur.}$$

V_z bilinirse kolaylıkla V_i ve P , II-1 planş üzerinden okunur. II-1 planş XII denklemelerinin grafik halidir.

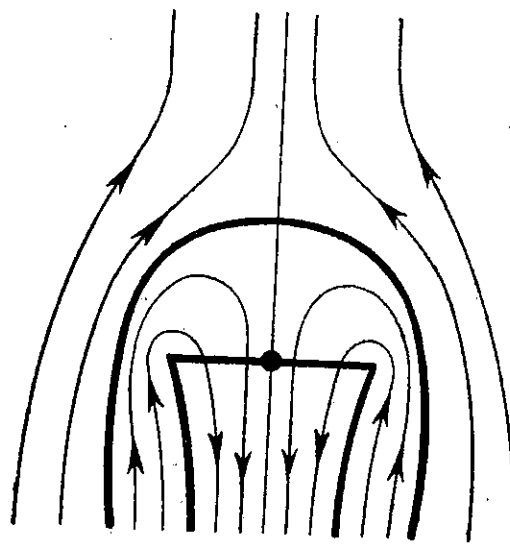


Panş II - 1

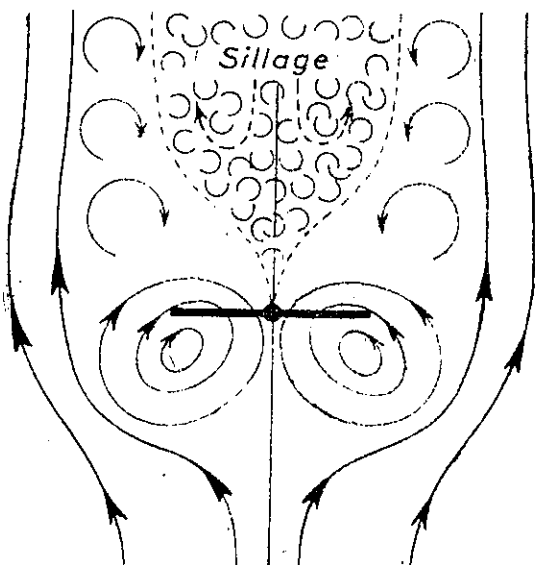
Pratikte V_i , endüri kaybı dikkate alınarak bir katı ile artırılır. V_z in küçük değerleri için P hesabı ilgi çekicidir. Şöyled ki :

$\frac{V_z}{V_{i0}} < 0,25$, bu değeri genellikle tatbikatta kullanılan değerdir.

$\frac{V_z}{V_{i0}}$ küçük olduğundan XVI denklemelerinin ikincisinin diferansiyeli alınacak olursa yani



a) Teorik Akım

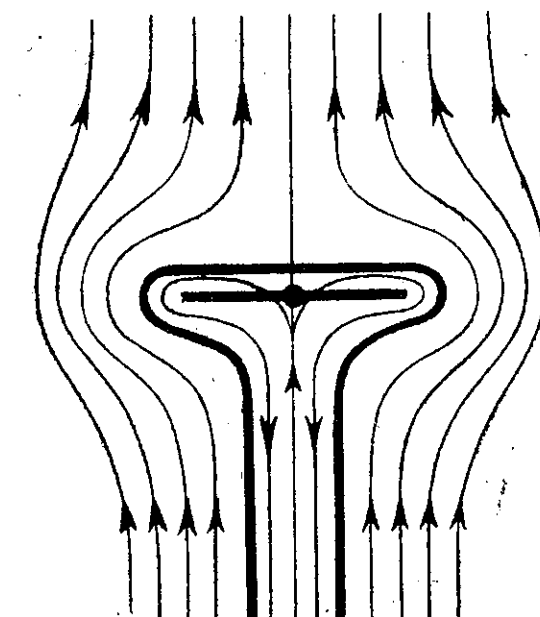
b) Hakiki Akım
(Turbiyon Halkaları)

Sekil: 32 a, 32 b
Helikopter rejimi yavaş iniş

Bu uçuş hali de Muline fren $P < 0$ halidir. Ancak havanın viskoz olması dolayısı ile akan akışkan hortumu V_z hızı yönünde sürüklendirir. Hakikatte bu rejimde rotor seviyesinde halkalı turbiyonlar gözüktür. (Şekil. 31)

Evvvelce işaret ettiğimiz gibi hava, teorinin gösterdiği akımı oklar yönünde izlemez ve XIX denklemi de tatbik edilemez.

Yavaş iniş halinde de aynile $|V_z| < V_i$ olup, helikopter rejimidir. $P > 0$ dur. Teorik akım (Şekil. 32) gibidir. Yavaş iniş halinde böyle gözüktür ise de, V_z önemli bir değer alındıkta (Şekil. 32 b) hali olur ki evvelki hale çok benzer. Diyelim ki turbiyon daha önemlidir ve rotorun altındadır. Fizik izahına gelince, rotor iñerken kendi hasıl ettiği hava filelerini yutar ki bu da akımın turbulent görünüşümü izah eder.



a) Teorik Akım

Şekil: 33 -- Teorik akım

$V_z=0$ dan $V_z=-2V_i$ değerlerine kadar, rotorun yakınında turbiyon halkalarının bulunması ile aynı tip akımda olduğunu gösterir. Bu nevi işleme aşağıdaki durumdadır.

1°) Hava rotorun üstünde sıyrılma yaptığından turbiyonlu bir iz yapar.

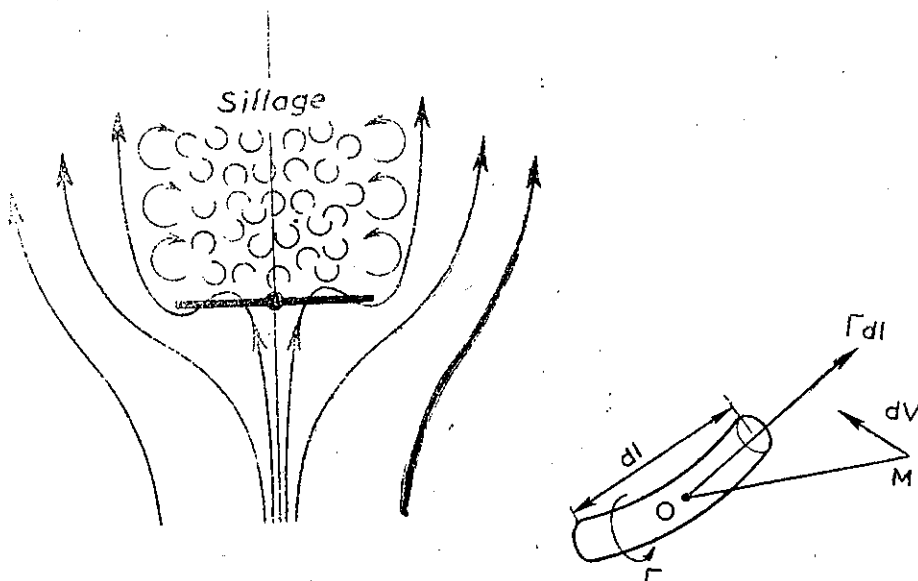
2°) Bu olay sürekli değildir. Rotora bağlı turbiyon periyodik olarak, iz içinde sürüklenen turbiyon halkalarını bırakır.

Bu halin benzeri fena karene edilmiş bir cismin arkasında husule gelen akıma benzer.

Bizim ettiğimiz havanın aktığı yöndeği taşıma kuvvetidir alnan örnekteki cismin arkasında husule gelen ise bir sürüklemedir.

Bununla birlikte ve genellikle, rotor herhangi bir cisme benzeti lemez. Çünkü rotor ile hava arasında devamlı bir enerji nakli vardır. Yalnız $P=0$ hali (düşey otorotasyon) istisna teşkil eder. Şimdi bu hali ettiğ edelim.

Düşey Otorotasyon : Bu uçuş rejimi helikopter rejimi ($P>0$ iniş hızı az) ile Moline - fren rejimi ($P<0$ yüksek iniş hızı) arasında sınır yapar.



b) Haklı Akım

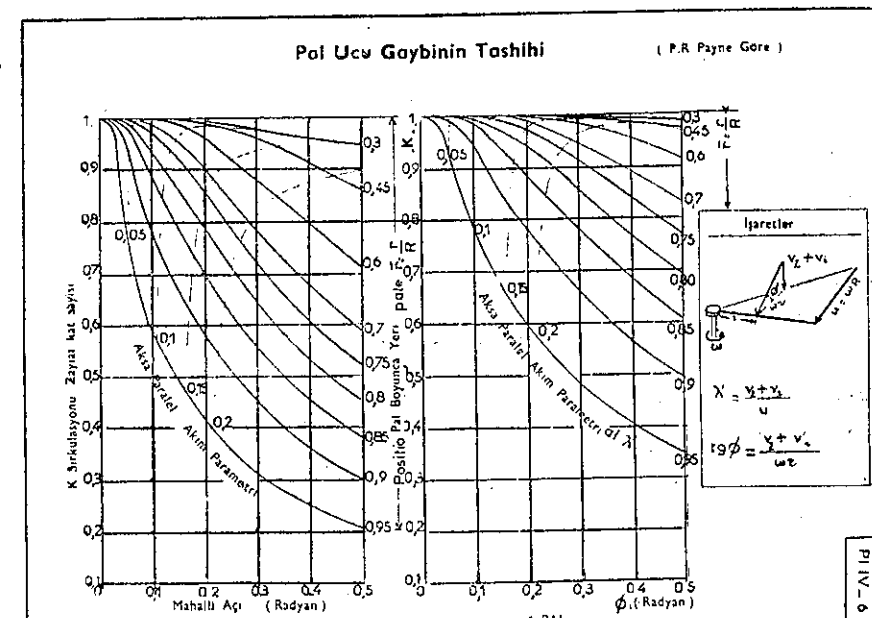
Şekil: 34 — Otorotasyon

Şekil — 35
Bir turbiyon elemanında endüii hız

Teorik akım (Şekil. 33) de gösterilmiştir. Hakiki akımı gösteren (Şekil. 34) den anlaşılıcagı üzere rotor hava akımının geçmesine engel olmağa çalışır. Rotor diskinin üstünde hasıl olan iz dairesel bir disk'in yüzeyine dik olarak gelen hava akımında yaptığı ize benzer.

Hava tünelinde yapılan deneyler, kalite ve kantite itibarile bu benzerliği gösterir.

Gördüğümüz gibi, turbiyon halkalar rejimleri, FROUDE teorisile izah edilemez. Endüii hız yaklaşık olarak dahi bir anlam taşımaz. Bu nünlü beraber efikas endüii hız, aşağıdaki denklem ile dikkate alınacak bir bilgi olarak düşünülebilir.



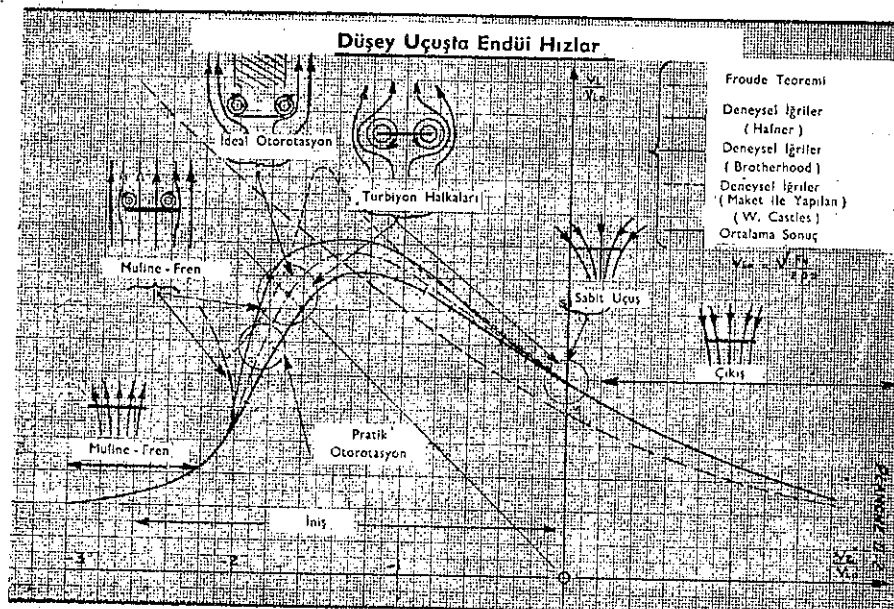
Planş II — 7

$$\vec{P} = -\vec{F}_N \times (\vec{V}_z + \vec{V}_i)$$

Hava tünelinde ve uçuş deneylerinde elde edilen sonuçları kullanarak V_i değerini V_z e bağlı olarak izah etmek mümkündür.

Düsey Uçuş Halindeki Bilgileri Özetliyelim :

II-2 planşı, düsey uçuşla ilgili olaylar toplamını sentetik olarak gösterir.



Plans II — 2

Endü ve düsey hızlar V_{i0} değerine göre circa edilmiştir. Dolgun çizgili eğri deney sonuçlarını gösterir.

Hızlı inis ve çıkışlar, FROUDE teorisinin eğrilerine yaklaşır (nokta nokta eğriler). Bu alandaki farklar, endü kaybı dolayısı ile yapılan, ortalama düzeltme farklarındır.

Turbiyon halkalarının rejimlerine tekabül eden eğri kısmını biraz daha etrafı inceleyelim.

Bu kısımda, kaynağı değişik deneysel bir çok eğriler verdik. Bunnar FROUDE akımı bölgelerinde tersine olarak gösterir ki, önemli bir dağılış vardır. Akımlardaki bu dağılış, viskosite olaylarının önemli etkisi iledir. Özellikle, mikyasın etkisi önemlidir.

Eğrinin durumu bazı yönlerden dikkati çeker. Bu diyagram üzerinde eşit güç eğrileri ikinci dörtgen diyagonaline paralel doğrulardır.

$$\frac{V_i}{V_{i0}} + \frac{V_z}{V_{i0}} = \text{sabit}$$

İdeal otorotasyon temsili noktası doğru üzerindedir.

$$\frac{V_i}{V_{i0}} + \frac{V_z}{V_{i0}} = 0$$

otorotasyonun hakiki halleri gerçekte muline-fren halleridir.

Bir kısım enerji; pallerin sürüklemesine, transmissyonun sürtünmesine, tertibatın çalıştırılmasına veya mukavemet kupluna ve diğer hususlara gider. Ayrıca planşa görülmürki, bu işleme alanındaki güç değerleri iniş hızı üzerinde az etkilidir.

Buna mukabil iniş hızı az olan alanlarda

$$\left| \frac{V_z}{V_{i0}} \right| < 1,2 \text{ eğri yönü eşit güç eğrilerine çok yakındır.}$$

Bu halde gücün ufak değişimi iniş hızı üzerinde büyük değişiklik yapar.

Bu hale, rotor altındaki turbiyon halkalarının çalkalanmasında ilâve edilirse, rotorun kontrolü, bu nevi uçuşa sokan pilot tarafından, güç sağlanır.

Kullanıcıların dilinde, turbiyon halkaları rejimi bu zor rejimi gösterir, ancak otorotasyon ve muline-fren halleri bu olayın dışındadır.

Plans II-2 deki diyagram, akımın üniform olmayan kaybını genellikle gösterir. Daha hassas bir değerlendirme yapmak istenirse FROUDE teorisini denklemlerini mümkün olduğu kadar dar çevre elemanlarına tatbik etmek lâzımdır.

Bu metodun tatbiki performans hesaplarında görülür.

Rotorun Turbiyon Teorisi Elemanları — Düsey Uçuşa Tatbiki :

Bu paragrafta, turbiyon teorisi bakımından rotorun işleyişini tetkik edeceğiz.

Meselenin matematik tarafı, daha çok fizik izahlara feda edilecektir. Bu kısımda rotorun, taşıyıcı diskiten neden farklı olduğunu anlatacağız. Buraya kadar aynı kabul etmişlik. Ayrıca hareket eden uçuşa daha uygun olan turbiyon görüşüne göre bir hazırlık yapacağız.

Turbiyon Teorisi Prensipleri :

Rotorun hareketi ile husule gelen turbiyonlardan faydalananlarak, uzayın her noktasında endüii hızı hesaplamak turbiyon teorisi ile mümkündür.

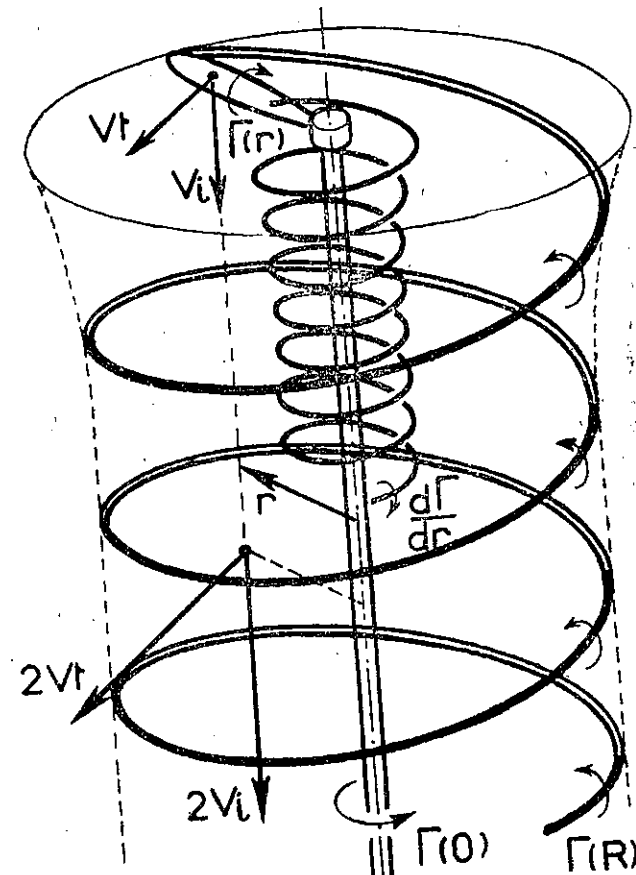
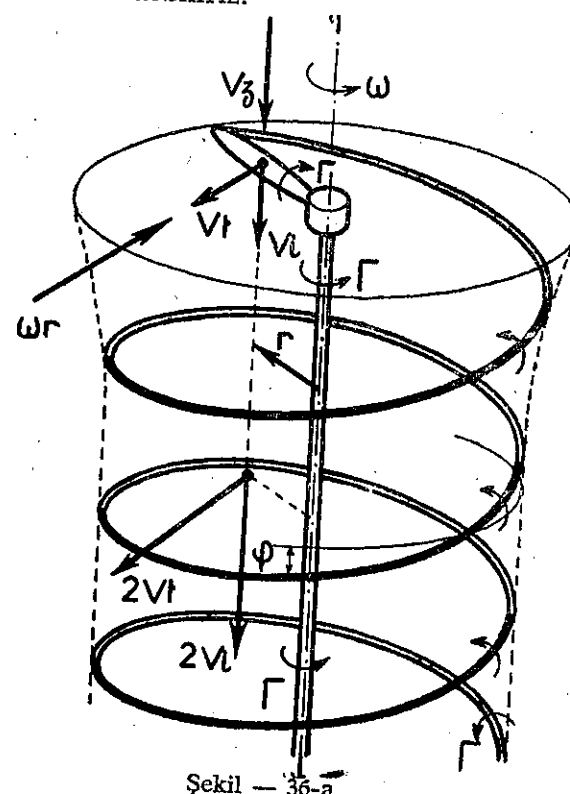
Pallere bağlı turbiyon ile, pallerden kopup iz içine sürüklenen serbest turbiyonu birbirinden ayırt edeceğiz.

Akışkanlar mekanığı göstermiştir ki, akışkan içindeki hızların hesabı, uzaydaki her noktada turbiyon şiddetini bilmekle bulunabilir.

T şiddetinde dl uzunluğundaki her turbiyon elemanın M noktasındaki endüii hızı

$$dH = \frac{I}{10} \frac{dl \sin \alpha}{r^2} \quad \vec{dv}_t = \frac{\vec{l} dl \wedge \vec{OM}}{4\pi |OM|^3}$$

Bilindiği gibi bu formül, elektromanyetikteki BIOT ve SAVART formülüne, değişik katsayı ile eşittir, $dH = \frac{I}{10} \frac{dl \sin \alpha}{r^2}$ bunu şu suretle ifade edebiliriz.



Şekil — 36-b

Bir turbiyon sisteminin yarattığı endüii hız alanı, turbiyon ipliğinden geçen $\frac{\Gamma}{4\pi}$ şiddetindeki bir elektrik akımının hasıl ettiği elektromanyetik alana eşittir.

Genel olarak, turbiyon teorisinin müşkülleri çifttir.

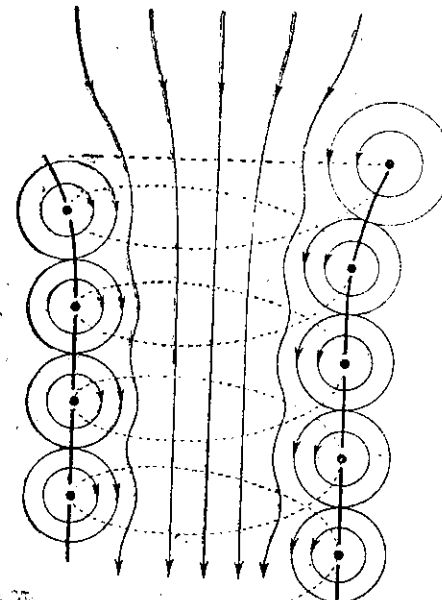
1°) Serbest turbiyonları uzaya yerleştirmek ekseriya zordur.

2°) Herhangi bir durumda hesapların yapılması çok karışiktır.

Sonuç alabilmek için kaba yaklaşıklar yapmak zorunluğu vardır.

Düşey Uçuştaki Rotora Tatbiki: Sabit sirkülasyonlu palın basit bir durumu ile başlayalım. (Şekil. 36) da olduğu gibi, anlaşılması

kolaylaştmak için bir pal alalım. Burada pal, r üniform sirkülasyonlu, taşıyıcının bir parçasıdır. İki ucundan şiddeti Γ olan serbest turbiyon çıkar.



Şekil 37 — Uç kayıpları

Disk düzleminde pal boyunca endüii hız simetri dolayısı ile sıfırdır. Aynile çıkış sonsuzunda da sıfırdır. Şu halde yalnız endüii hızı hedef veren serbest turbiyonları etüd edeceğiz. Palın aksa bağlılığı yerden çıkan turbiyon palın düzleminde V_t endüii hızını hasıl eder. Bu da akım hortumu içinde $2V_t$ yapar.

V_t endüii hızı, taşıyan disk teorisinde yoktu. Burada ise rotorun dönen bir taşıyıcı olması nedenile yeni bir anlam getirmiştir.

Bu bileşen pratikte çok küçüktür. İlerideki vereceğimiz denklemlerden de böyle oluşu anlaşılacaktır.

V_t değeri, Γ yarı çapındaki daire boyunca sirkülasyonu $\frac{\Gamma}{2}$ olan değere göre yazılacak olursa,

$$V_t = \frac{\Gamma}{4\pi r} \quad \text{olur.}$$

Palın ucundan çıkan serbest turbiyon bir elis çizer. Elisin çizdiği yüzey, rotor ile üflenmiş akım etrafındaki atmosferden ayılır. Yüzey, hız süreksizliği yapan turbiyon alanıdır.

Pal ucundan çıkan turbiyonları bir solenoide benzetebiliriz. Solenoidin hasıl ettiği manyetik alan bu taktirde FRCUDE teorisinin bildirdiği endüii hızıdır. Turbiyonun helezonlarını oldukça sık kabul ederek solenoidin elekromanyetik hesabına uyduracağız. Bu hal bir çok palli bir rotorun hızla dönmesi hali olur ve aks yönündeki hız rotorun daire hızına göre küçüktür.

Bu şartlar içinde solenoidin içindeki manyetik alan karakteristikleri şöyledir :

— Pal uçlarında uzakta akse paralel akım sürekli ve aynıdır. Şiddeti $H = 4n\pi I$ formülüne göre olup burada n birinci boydaki helezonların sayısını gösterir. I ise her helezondan geçen elektrik akımını gösterir.

— Girişte, aks yönündeki alanın bileşkeni sürekli olup, değeri $2\pi n i$ olur ki evvelki değerin yarısıdır.

Böylece, çıkışta ve sonsuzdaki endüii hızın diskî geçişteki endüii hızın iki misli olduğu tekrar görüllür.

Endüii hızın hesabına gelince, hesap edebilmek için kenar turbiyonun teşkil ettiği elisin hatvesini bilmek lâzımdır. Bu da serbest turbiyonun dengede olduğunu yazmakla mümkündür. Yani her noktasının bir kuvvetle maruz değildir. Turbiyonun bir parçasına tekerlek eden kuvvet vektöriyel çarpma $\vec{v}_t \wedge \vec{\Gamma} dl$ şeklindedir. Elise tekerlek eden kuvvetin izafesi hızı paraleldir, buradan (Şekil. 36) her noktada, havanın izafî hızı paraleldir,

$$\operatorname{Tg} \phi = \frac{v_z + v_i}{-v_t}$$

, silindirin çıkış sonsuzunda silindire sarılan solenoidin yarı çapıdır. Aks yönünde elisin dairelerini birbirinden ayıran aynen uzaklığa 1 dersek,

$$1 = 2\pi r \operatorname{Tg} \phi = \frac{2\pi}{\omega} \times \frac{v_z + v_i}{1 - \frac{v_t}{\omega r}}$$

$$\text{XXI} \quad n = \frac{1}{l} = \frac{1}{2\pi r \operatorname{tg} \phi} = \frac{\omega}{2\pi} \times \frac{1 - \frac{V_t}{\omega r}}{V_z + V_i}$$

Endüi hız V_i

$$V_i = 2\pi \times \frac{\Gamma}{4\pi} \times \frac{\omega}{2\pi} \times \frac{\left(1 - \frac{V_t}{\omega r}\right)}{V_z + V_i}$$

veya

$$\text{XXII} \quad V_i = (V_z + V_i) = \Gamma \frac{\omega}{4\pi} \left(1 - \frac{V_t}{\omega r}\right)$$

genellikle $\frac{V_t}{\omega r}$, 1 değeri önünde öünsüz bir değer olduğundan

$$\text{XXIII} \quad V_i(V_z + V_i) = \Gamma \frac{\omega}{4\pi}$$

V_i ile V_t arasındaki münasebet XXI formülüne göre V_i

$$V_i = 2\pi \frac{\Gamma}{4\pi} \cdot \frac{1}{2\pi r \operatorname{tg} \phi} = \frac{\Gamma}{4\pi r \operatorname{tg} \phi} \quad \text{olur.}$$

Buradan XX denklemine göre

$$V_t = V_i \operatorname{tg} \phi \quad \text{bulunurki bu}$$

denklemi manası şudur. Her noktada özetle pal doğrusunda, toplam endüi hız, havanın izafî hızına dikeydir. Bu hal pervanenin genel olarak, uzunluğu müayyen olan kanadın bir özelliğini teşkil eder.

Güçün ve Taşmanın Hesabı: Yatay olarak $\omega r - V_i$ hızı olan bir pal parçasının taşımı

$$dF_N = \rho \Gamma dr \left(\omega r - \frac{\Gamma}{4\pi r}\right)$$

$$\text{toplam taşıma } F_N = \rho \Gamma \int_0^R \left(\omega r - \frac{\Gamma}{4\pi r}\right) dr \quad \text{dir.}$$

XXIV

Simdilik, teget hız V_t in getirdiği düzeltmeyi bırakırsak,

$$F_N = \rho \Gamma \int_0^R r dr = \rho \Gamma \omega \frac{R^2}{2} \quad \text{olur.}$$

bu değeri XXIII denklemindeki değer ile gösterir ise XXVI

$$F_N = 2\rho SV_i(V_z + V_i)$$

bulunur.

GÜÇ :

Akse paralel hız $\rho \Gamma dr (V_z + V_i)$ gibi bir sürükleme verir.
Güç de

$$P = \int_0^R \rho (V_z + V_i) \Gamma dr \quad \text{dir}$$

XXVII

$$P = \rho (V_z + V_i) \Gamma \omega \frac{R^2}{2} \quad \text{olur.}$$

XXVIII

XXV formülünü dikkate alırsak

$$P = (V_z + V_i) F_N$$

bulunur.

XXVI ve XXIX denklemeleri, XII denklemelerine benzer ki FROUDE teorisinin değerlerini tekrar bulmuş olur. Bu hal rotorun çok sayıda palli ideal hali demektir. (Halkaları sık solenoid). Burada teget endüi hızın tesiri ihmal edilmiştir. Pal boyunca sirkülasyon sabittir.

Turbiyon şeması, sürekli ve devamlı haldeki hortum kenarındaki izde hasıl olan turbiyon sık halkalarının, devamıdır.

Şimdi, hakiki rotorun daha hassasiyetle tashihini icabettiren teorinin neler olduğunu tetkik edelim. (Teget endüi hız ve mahdut sayıdaki paller hali).

Teget endüi hızın bileşeninin tesiri
XXIV denklemi entegre etmemeli denersek

$$F_N = \rho \int_0^R \Gamma \left(\omega r - \frac{\Gamma}{4\pi r}\right) dr$$

palın akse bağlandığı yerde eksi taşımanın sonsuza gittiği görülür. Bu durum bize; $r = \text{sabit}$, ve V_i hızı disk üzerinde aynı olması halinin, taşıyan disk teorisinden çıkardığımız sonuçlara uygun olmadığı fikrini getirir. Zira taşıyıcı rotor dönmektedir.

Dolayısıyla pal boyunca değişen sirkülasyon dağılımını ve (r) kanununu aramağa mecburuzki daha doğru bir görüş getirelim.

(Şekil. 27) de görüldüğü gibi turbiyon pal'ın aksdaki nihayetinden buna pal'ın ayağı diyecek olursak, pal'ın ayağındaki turbiyon, pal boyunca file gibi turbiyonların çıkışlarıyla bir örtü yapar. Şiddeti $\frac{d\Gamma}{dr}$ dir. Bu fileler elikoid sistem teşkil ederek akım hortumu içinde tesirini gösterir ki $\frac{d\Gamma}{dr} > 0$ ise yukarı doğru hızlar ile yumaklanır.

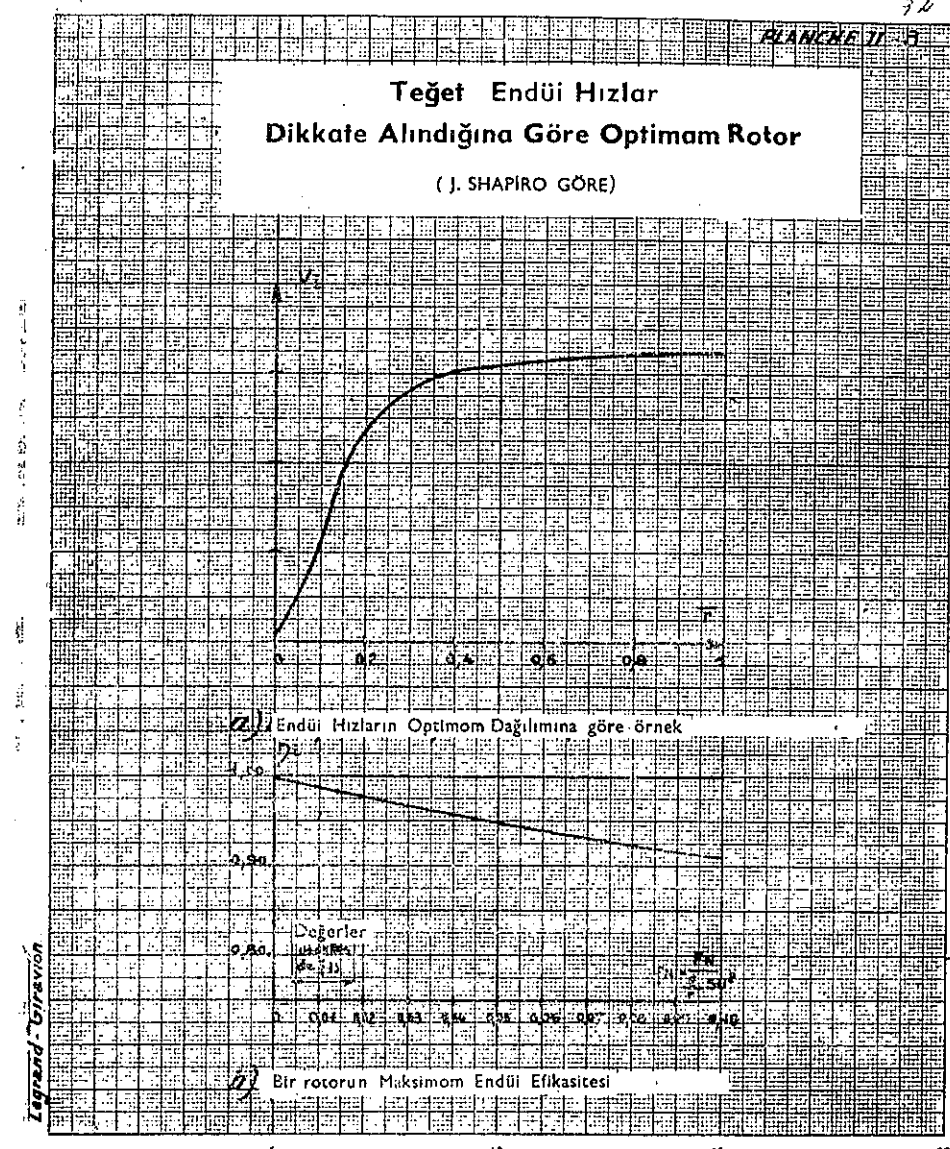
Ek II—I de matematik izah, pratikte en fazla alâka çeken sabit ucusta, endüi hızlarının münasip dağılımını gösterir. Sonuçlar planş II—3 de gösterilmiştir.

Görlür ki, üniform yani, aynı hızların dağılımı kanununa göre yapılacak düzeltmeler, bekleniği gibi palın ayak kısmında bilhassa kendini gösterir. Zira burada hızlar çok küçülmüştür.

$\frac{V_i}{U}$ oranı küçük oldukça, hız yayılımı [$V_i = \text{sabit}$] kanununa o kadar yaklaşır.

Pratikte, rotor imalât usulleri dolayısıyla büyük endüi hız termini mümkün olmadığından $r < 0,2$ yapılacak düzeltmeler önemli değildir. Bu suretle endüi hız yayılımını rotorun merkezine kadar sabit kabul etmekte mahzur yoktur.

Sayıet, endüi hızın münasip dağılımı elde edilse bile, icap eden güç, FROUDE teorisinin gösterdiği değerden, daha fazla olduğu aşıkârdır. Münasip pervane, münasip taşıyıcı diskten biraz daha az tesirlidir. Denilebilir ki XIV denklemindeki esaslara göre hareket etmek taşıyıcı diske oranla daha iyi sonuç verir. Maksimum tesirilik değerini gösteren II—3 lavhasındaki diyagramda, F değerine göre farkı göreceğiz. Burada görülür ki pratik değerlerde dönen taşıyıcının (F_N) tesir kaybı çok azdır.

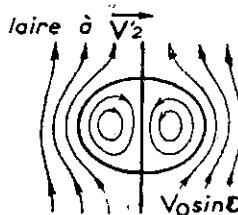


Planş II — 5

Pal Ucu Zayıflığı: Buraya kadar rotorun pal sayısını açık ve kapalı olarak sonsuz kabul ettiğim. Halbuki hakikatta pal sayısı bir rotor da belirlidir. Bu neden ile teoride rötiş yapmak gerekir. Bu arada şimd i pal ucunu ele alalım.

Fazla detaya girmeden planş IV-6 da turbiyon teorisine göre yapılacak düzeltmeyi göreceksiniz.

Bu zayıflığın fizik nedenlerini göstermekle yetinelim. Pal'ın ucu turbiyonlarının teşkil ettiği solenoid bitişik değildir. Akım hortumunu daraltır ve hortum etrafında da turbiyonlar yapar (Şekil. 37)



Şekil — 38 V_2' ye dik bir yüzeyde hava akımları

Şekilde körülüdüğü gibi akım hortumu sınırları, turbiyonlar arasında geçer. Bu suretle evvelce söylediğimiz gibi, faydalı kesit daralır, bundan kanatlar ucunda, taşıma kuvvetini azaltan bahis konusu yan zayıflığı gibi, pal ucu zayıflığı meydana gelir.

Olayın böyle oluşu, endüii hızın sabit oluşu kanununun kabulüne aykırı olarak $V_i = \text{sabit olmaz}$. Pal ucunda endüii hız değişik olur.

İleride anlatacağımız gibi, pal'ın her noktasındaki zayıflık dikkate alınacaktır. Pratikte rotor çapını, bir yüzde hesabı ile küçülterek, kabul etmek yeterlidir. Yani R rotor yarı çapı yerine BR almak yeterlidir. $B < 1$ olup B yi veren bir çok formüller vardır. Bu kitapta en pratik olan PRANDLE formülünü kullanacağız.

$$B = 1 - \frac{1.386}{b} \frac{\lambda'}{\sqrt{1 + \lambda'^2}}$$

λ' akstaki akım parametri olup $\frac{V_z + V_i}{U}$ değerine eşittir. b pal adedidir.

Sabit uçuş halinde

$$\lambda' = \sqrt{\frac{F_N}{2\rho S U^2}}$$

taşımayı azaltan katsayıyı kullanırsak

$$f_N = \frac{F_N}{\frac{\rho}{2} S U^2}$$

aşağıdaki sonuç bulunur.

$$B \approx 1 - \frac{\sqrt{\frac{F_N}{2}}}{b}$$

XXX

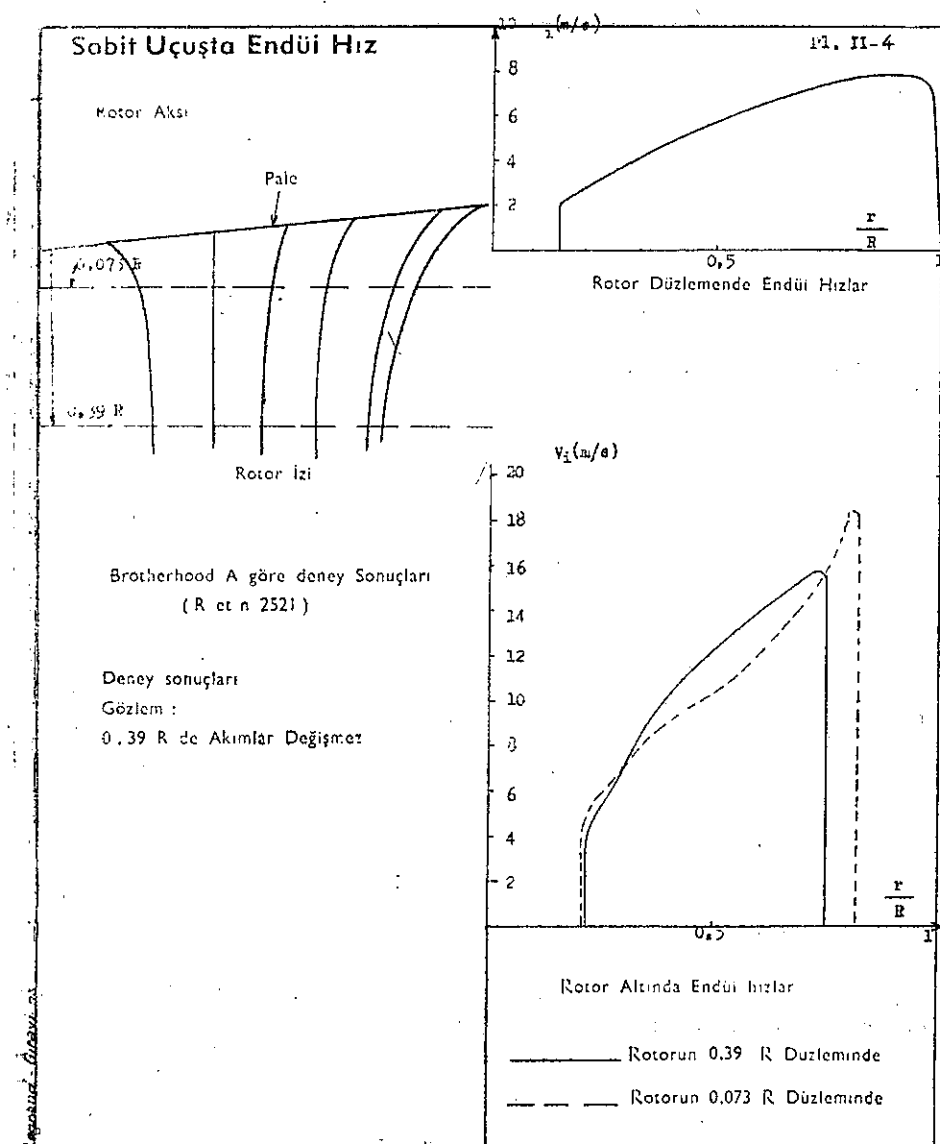
Gözlem :

PRANDLE formülünün analitik izahı aşikârdır. Yan turbiyonların arası birbirinden uzak oldukça fiktif pal çapı o kadar küçük olur. Yani B o kadar küçük olur. Yan turbiyon aralığına 1 dersek XXI formülünden 1 değerini alarak

$$XXXI \quad \frac{1}{R} = \frac{1}{b} \times 2\pi \frac{V_z + V_i}{\omega R} = 2\pi \frac{\lambda'}{b} \quad \text{bulunur.}$$

Rotorun durumu hakkında turbiyon teorisinin bize öğrettiğine göre; η endüii nitelik maksimum olarak erişebildiği değer 1 den küçük fakat 1 e yakın olur.

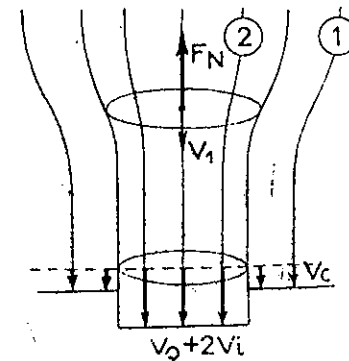
Sonuç olarak diyebiliriz ki, endüii hızın en müinasip dağılımı üniform değildir. Bu hız pal kökü veya ayağı ile pal ucunda zayıflar. Örnek olarak, planş II-4 de hakiki bir rotorda endüii hızın yayılımını gösteriyoruz.



Leyende: 1. Disk 2. Disk

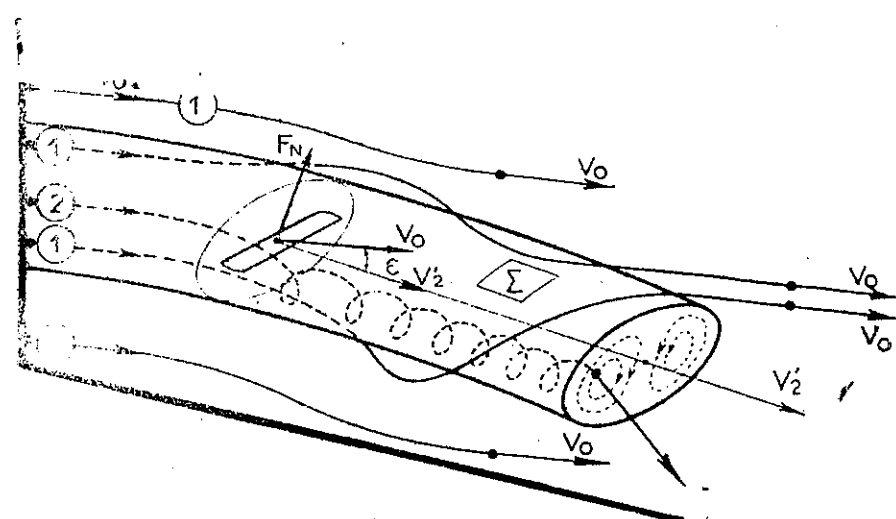
Genel Uçuş Hali : Helikopterin havada herhangi bir hareketi, evvelce de beyan ettiğimiz gibi, etüdü en zor olanıdır. Bu zorluk hava akımlarının karışık olması sonucudur.

Genel Düşünceler: Dikey uçuşta pervanenin tutumu ile kanat uzunluğu sınırlı olan kanat uçuşunun tutumunu arasında bir kıyaslama yaparsak, rotorun bu uçuş halinde durumunu daha iyi anılırız (Şekil. 38)



Şekil — 39 Dikey uçuşta rotor

(Şekil. 39) rotorun dikey uçuşunu gösterir taşıma kuvveti \vec{F}_N , \vec{V}_1 hızına paraleldir. Gördüğümüz gibi rotorun altında basınç artar. Bu hal sonsuz çıkışta, rotordan geçtikten sonra hava hızında artış yapar.



Şekil — 40 Kanat açıklığı sınırları

$$|\vec{V}_2| > |\vec{V}_0|$$

Şimdi, sınırlı uzunluğu olan kanat haline geçelim.

XXXII $\vec{F}_N = -2\rho S |\vec{V}_0| \cdot \vec{V}_1$

PRANDLE teorisine göre çıkardığımız formüllere dayanarak yazalım :

$$\vec{F}_N = -2\rho S |\vec{V}_0| \cdot \vec{V}_1$$

$\rightarrow F_N$ kanadın taşıma kuvveti

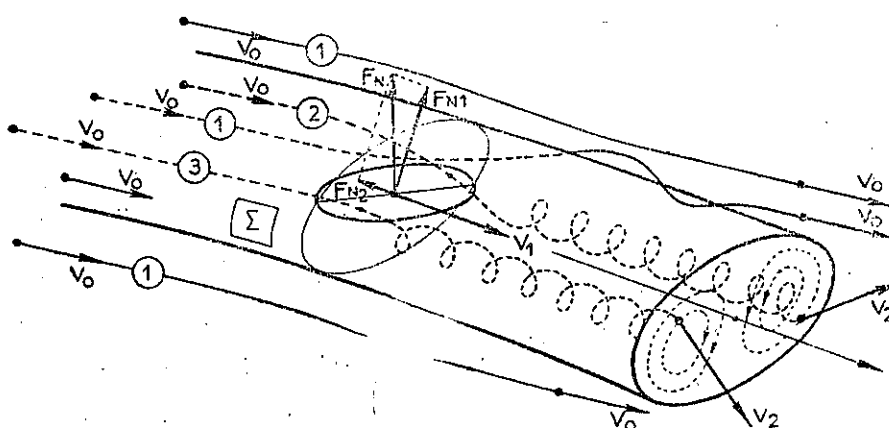
$\rightarrow V_1$ kanat boyunca endüii hız

$\rightarrow V_0$ girişte ve sonsuzda hız

S kanat boyu kadar çapı olan dairenin alanı

Hava akım hortumunun sonsuz çıkışındaki endüii hızı $2V_1$ olsun.

Bu formül genellikle taşıma kuvvetinin; S kesidinden geçen ve $2V_1$ hızına sahip havanın aşağıya yönelmesinden hasil olur. Anlatabilmek için böyle söylemek en iyi yoldur. Ancak bu formülün ardında fizik bir gerçek vardır. (Şekil.40) ı ele alalım.



Şekil 41 Yürüyen rotor

Kanaddan çıkan turbiyonlar tamamen V_0 hızına paralel değildir.

Inhıraf miktarını ϵ açısı ile gösterirsek ϵ açısı, V_1 ve V_0 hızlarına tabi olarak hava hızını aşağı doğru yönetir. Böylece akan hava moleküllerinin hızı V_2' olur. Bu suretle akan hava filelerini turbiyonları içine alan Σ zarfı veya hortumu içinde ve dışında olarak ayırmak gereklidir. Şekilde (1) diye gösterdiğimiz Σ zarfını saran akım olup sonsuz çıkışta \vec{V}_0 olur, (2) fileleri de Σ zarfı içinde kalıp V_2' hızına paralel aks etrafında elisler çizer. Kanatla hava arasında enerji mubadelesi bahis konusu olmadığına göre, taşıma kuvveti, Σ hava zarfı içindeki havanın kanadın olduğu yerde yön değiştirmesi nedenile hasil olur. Σ zarfının dik kesitine S dersek.

$$-\vec{F}_N = \rho S_\Sigma |\vec{V}_0| (\vec{V}_2' - \vec{V}_0)$$

evvelki formül ile kıyaslanırsa

$$\text{XXXIII } 2\rho S |\vec{V}_0| \cdot |\vec{V}_1| = \rho S_\Sigma |\vec{V}_0| \cdot |\vec{V}_0| \sin \epsilon \text{ bulunur.}$$

İki Önemli Gözlem :

1— (Şekil.40) in tetkiki, turbiyon sisteminin ortasındaki endüii hız $2V_1$ inhıraf eden akımın ortalama hızı olan $V_0 \sin \epsilon$ dan büyüktür. Endüii hızın fazlası Σ zarfı içindeki havanın turbiyon haline gelmesine yarar.

$S_\Sigma |V_0| \sin \epsilon = 2SV_1$ denklemi S_Σ kesitinin S den büyük olduğunu gösterir.

2— Σ zarfının sınır yüzeyi iç ve dış akım arasında devamsızlık yüzeyi değildir. Bir süre beraber akan hava moleküllerini yekdiğerinden ayırarak sonsuz çıkışta birbirinden ayrırlar.

Şimdi genel uçuş halinde rotorun durumunu daha iyi anlamağa çalışalım.

Taşıma kuvveti \vec{F}_N i ikiye ayıralım biri \vec{F}_{N1} olup \vec{V}_1 e dik, diğeri \vec{F}_{N2} olup \vec{V}_1 e paralel olsun. Rotor denebilir ki en az iki görev

yapar. Birisi \vec{F}_{N_1} kuvvetini hasıl etmektir. Bu neden ile hava akımını α açısı kadar saptırır. Diğerisi \vec{F}_{N_2} olup rotor bir pervane gibi çalışarak pervane dönüş yüzeyinden geçen havaya giriş ve çıkışta basınç farkı vererek, sonsuz çıkışta hava akımına hız artışı sağlar. Demekki hava üç kismı içindedir.

1— (1) hava fileleri Σ zarfinin etrafında olup sonsuz çıkışta V_∞ hızını alır.

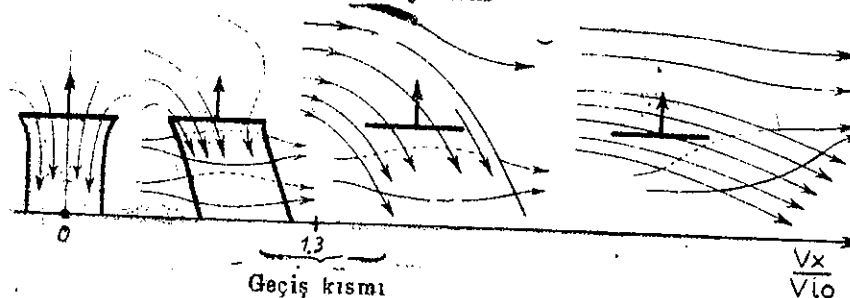
2— (2) hava fileleri Σ zarfi içinde olup rotordan geçmez. Toplam basıncı değişmez ortalaması sapi ile \vec{F}_{N_1} kuvvetini yaratmağa yardım eder.

3— (3) hava fileleri rotordan geçerek şapma yapar ve giriş çıkışta toplam basınç farkı yapar. Toplam basınç farkı dolayısı ile \vec{F}_{N_2} kuvvetini hasıl eder ve sapmasile \vec{F}_{N_1} in elde edilmesine yardımcı olur. (2) ve (3) fileleri Σ zarfi içinde birbirine sarılı olarak akar.

Gözlem :

1— Rotorun çalışma durumu anvergür boyunca pervaneler takılmış bir kanadın durumu ile kıyaslanabilir.

2— (Şekil. 41) de iz içinde hızların değişkenliği görülmektedir. V_2 hızının üniform kabulünün performans hesaplarına da ortalaması bir değer olmaktan başka anlamı yoktur.

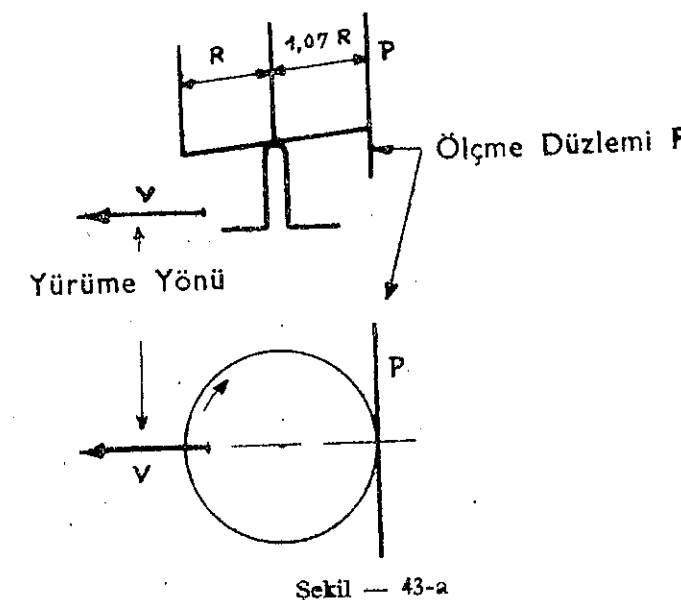


Şekil — 42 Yürüyen bir rotora değişik akım halleri

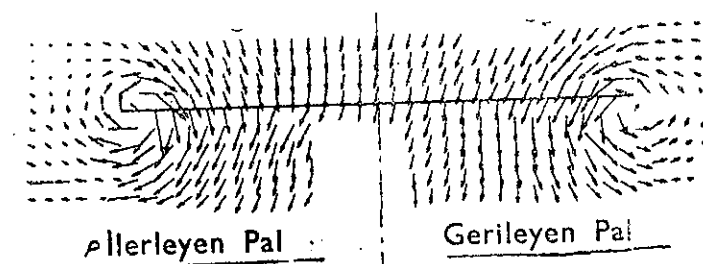
3— Ayrıca pratikte, havanın viskositesi iz içindeki hızları bir miktar homojen hale getirir.

V_1 hızının yönüne göre rotorun iki tesirden biri daha önemli olmaktadır.

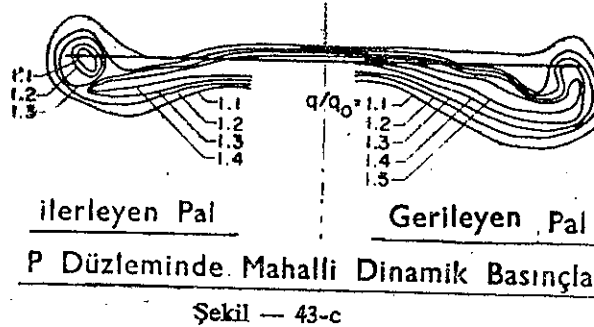
Örnek olarak : Sabit uçustan başlayarak helikoptere artan yatay bir hız verilecek olursa; pervane gibi dikey bir hava akımından, kanat taki gibi eğilen bir hava akımına geçilir. (Şekil. 42 e bakınız)



Şekil — 43-a



Şekil — 43-b



Şekil — 43-c

$$\mu = 0.15 \frac{F_N}{\frac{1}{2} \rho S V^2} = 0.321$$

(NACA) TN 3242

Hız farkları dolayısıyla bir uçuş halinden diğerine geçişe (transizyon hali) denir. Disk üzerinde endüii hızların eşitsiz dağılımı, akımdaki türbulans, bu uçuş halini hiç de hoş yapmaz. Kuvvetli titreşimler, pallerde değişken kontrentler ve diğer şeyler olur.

Bu uçuş hali $\frac{V_s}{V_{i0}} = 1.3$ değeri yakınında veya hafif rotor yüküne göre 30 ile 70 Km/saat hızda olur.

Nitlige Değin Etüd: Evvelce yazdığımız gibi FROUDE usulünü kullanmak mümkün değildir. Turbiyon teorisi, konuya memnunluk verici girişi sağlar.

Turbiyon teorileri henüz çok kaba ve detaylarda pek inanç verici değildir. Zorluklar turbiyon şemalarında ve aynı zamanda endüii hızı veren denklemelerin halli hususundadır.

Genellikle kabul edilen ipotez pal boyunca sirkulasyonun sabit kabul edilmesi ve $\vec{V}_i = \vec{V}_0 + \vec{V}_t$ hızı yönüne göre hareket eden rotor diskinin hasıl ettiği sorbest turbiyonların silindir üzerine sarılmış olmasıdır.

İncelikle analiz yapılmak istenirse, havanın değişik izafi hızlarına rağmen uniform bir taşımayı muhafaza etmek için değişik bir sirkülasyon kabul etmek zorunluğu vardır.

Burada yalnız rotorun genel hareketi için belli başlı özellikleri göstermekle yetineceğiz.

Ortalama Endüii Hızın Tayini: Turbiyon halkaları rejimine benzer haller dışında aşağıdaki denklem kullanılır.

XXXI $\vec{F}_N = -2\rho S | \vec{V}_0 + \vec{V}_i | \vec{V}_i$

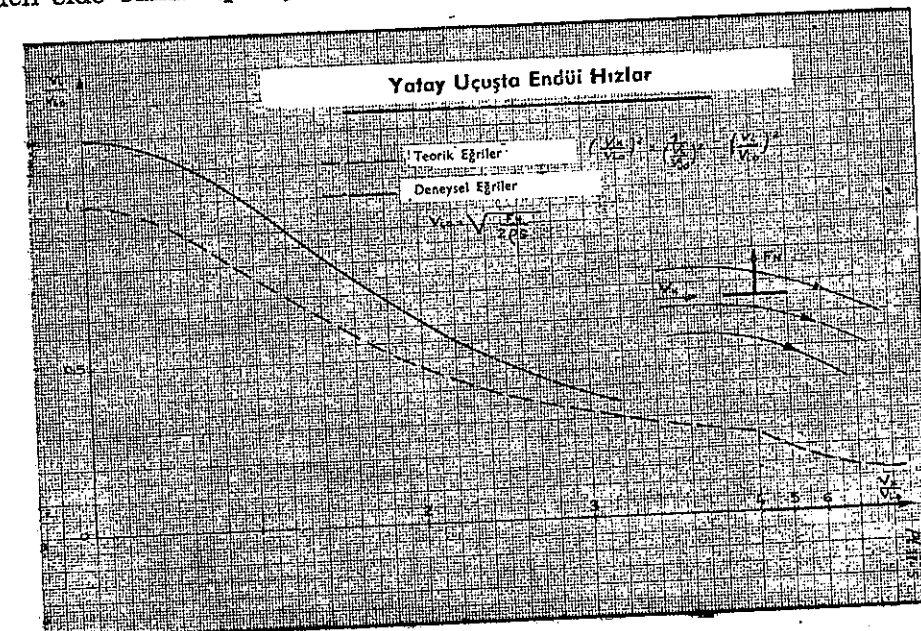
Genel hallerde bu formülün kat'ı isbatı yoktur ancak aşağıdaki hususlar bunu doğrulayıcıdır.

1— Bu hal sınırlı uzunluktaki kanatla, aynı zamanda da rotorun dikey uçuş haline uygun formülün genelleşmiş bir şeklidir. Evvelki paragrafta geliştirdiğimiz gibi, rotorun pervane-kanat kompozisyonundaki benzeyişi isbatlamadan bir kademesidir.

2— Turbiyon teorisi ileride belirtilen aynı münasebetleri verir.

3— Tünel ve dönüş kulesindeki deneylerdeki izin inhiifi ve performans ölçütleri, yeterlikle doğruladığı anlaşılmıştır.

Yatay bir hareket halinde $V_z = 0$, V_i değeri kolaylıkla (planş II.5) elde edilir. (planş II.5) ise II denkleminin grafiğidir.



Planş II-5

Bu taktirde denklem

$$\left(\frac{F_N}{2 \rho S}\right)^2 = V_i^2 (V_x^2 + V_z^2)$$

veyahut

$$XXXV \quad \left(\frac{V_{i0}}{V_i}\right)^2 = \left(\frac{V_x}{V_{i0}}\right)^2 + \left(\frac{V_z}{V_{i0}}\right)^2$$

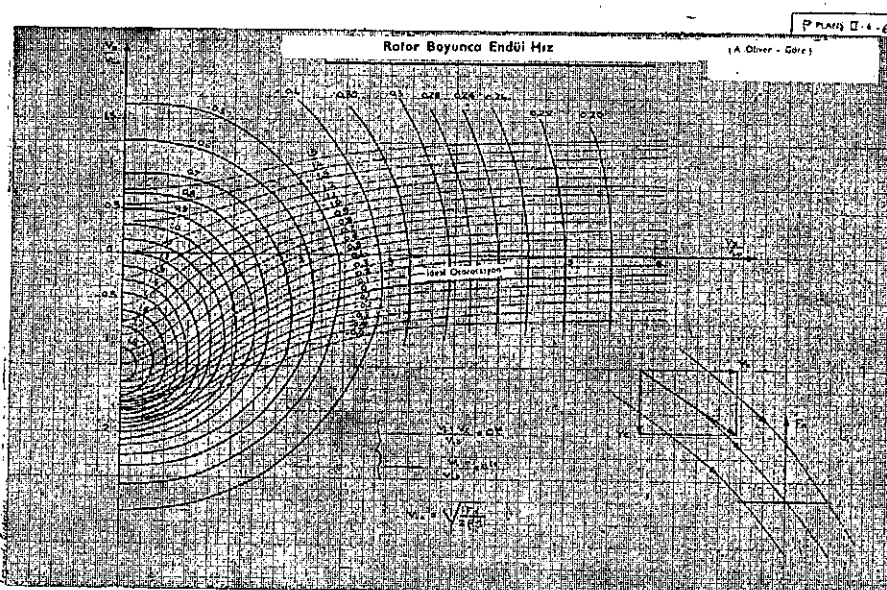
olur.

Pratikte, dikey uçuşta olduğu gibi, bulunan hız, endüii zayıflığı dikkate alarak bir katsayı ile çarpılır. Uymayan hallerde aynı değerde katsayı kullanılır.

En genel hallerde, IV denklemi aşağıdaki şekli alır.

$$\left(\frac{V_{i0}}{V_i}\right)^2 = \left(\frac{V_x}{V_{i0}}\right)^2 + \left(\frac{V_z + V_i}{V_0}\right)^2$$

Dikkati çekelim ki parametr olarak $\frac{V_i}{V_{i0}}$ alınırsa $\frac{V_z}{V_{i0}}$ değerine göre $\frac{V_x}{V_{i0}}$ eğrileri, $V_x=0$ aksi üzerine merkezlenmiş daireler olur.



Planş II — 6

(planş II-6) daki diyagram bunu göstermektedir. Bu planş XXXIII denklemelerini pratik olarak değiştiren faktörleri dikkate alarak deney-

sel düzeltmeler yapılarak çizilmiştir. Özellikle turbiyonların halkalarının bulunduğu yerlerde de bu işlem yapılmıştır. Aynı diyagram üzerine

$\frac{V_z + V_i}{V_{i0}}$ eş değerleri ki P_{i0} ya göre gösterilmiş güç eşdeğerleridir.

Gözlem: Toprağa yakın sabit uçuş halinde taşıma \vec{F}_N değerini görüste 1 randman üzerinde çalışacağını göstermişlerdir. Yükselmek için lüzumlu ilâve güç, \vec{F}_N nin V_z hızı ile yalnızca $\frac{\vec{F}_N \times \vec{V}_z}{2}$ dir.

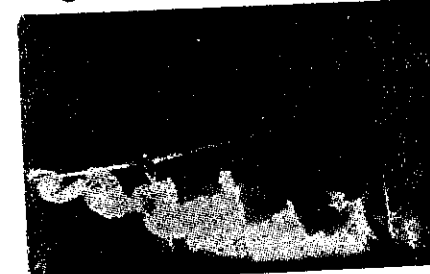
Bunun yatay uçuş halinde ne olduğunu görmek istersek; \vec{V}_0 ($V_z=0$) hızına dikey olan \vec{F}_N taşıma kuvvetinden başlayarak işlemde aynı temin için lüzumlu ilâve ve güç V_z belirli olduğuna göre ne olur? Pratikte bu ilâve güç rotorun kullanımında parazit sürüklameleri yenmeye veya egek çıkış uçuşuna tekabül eder. Planş II-6 diyagramını incelense pratikte kullanılan hızlarda kolayca görülür ki, sarfı gereken ilâve güç rotorun yaptığı itici işe biraz azdır.

Rotorun görünen itiş randimanı, endüii kaybını da dikkate alıksa 1 den hafifçe üstündür. Pervanenin, itici işinde olduğu haldeki randman anlamı dışında performans hesaplarını yapacağız.

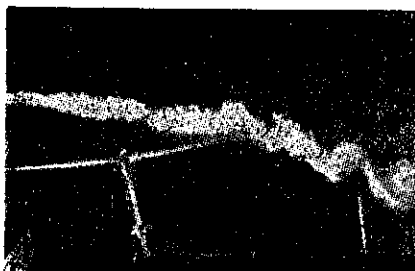
İz: Akımın gerçek yapım hakkında (Şekil 43, 44) ve (Şekil 45)leri inceleyerek bir fikir sahibi olunur.



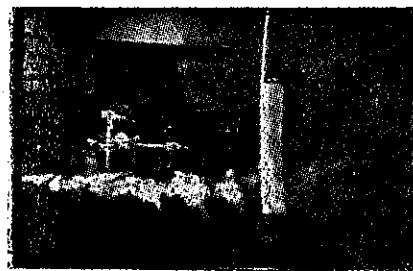
Şekil — 44-a



Şekil — 44-b



Şekil — 44-c



Şekil — 44-d



Şekil — 44-e

Şekil — 44-, b, c, d, e de yürüyen rotor arasındaki hava akımının hava tünelinde görünür hale gelmiş.

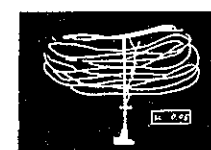
Hususile (Şekil. 45) de yan turbiyonların durumlarını hava tünelinde akımların görünür hale getirilmiş olması ile anlamak kabildir. Ufak ilerleme hızlarında elislerin burkulması görülmektedir.

Bu olay, genellikle kabul ettiğimiz teori şemalarındaki dengesizliğin, disk üzerindeki değişik endüii hızlarından ileri gelir.

Yatay hız önemli bir değere ulaşınca iz kanatta olana benzer. Turbiyon yüzeyleri rotorun teşkil ettiği diskin iki kenarından çıkararak kıvrıntılar yapar.



PROFİLDEN GÖRÜNÜŞ

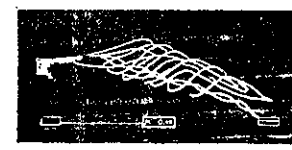


ÖNDEN GÖRÜNÜŞ

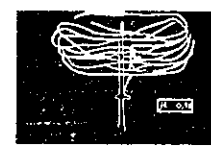


ÜSTTEN GÖRÜNÜŞ

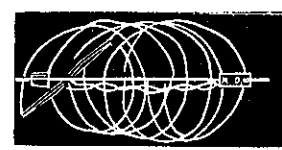
$$\mu = 0,05 \frac{V_{10}}{V_0} \approx 1$$



PROFİLDEN GÖRÜNÜŞ

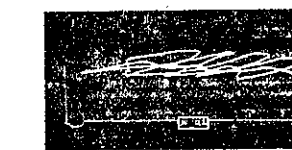


ÖNDEN GÖRÜNÜŞ

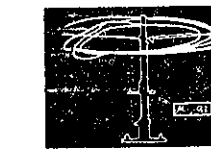


ÜSTTEN GÖRÜNÜŞ

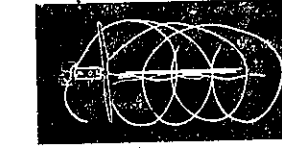
$$\mu = 0,10 \frac{V_{10}}{V_0} \approx 0,5$$



PROFİLDEN GÖRÜNÜŞ



ÖNDEN GÖRÜNÜŞ



ÜSTTEN GÖRÜNÜŞ

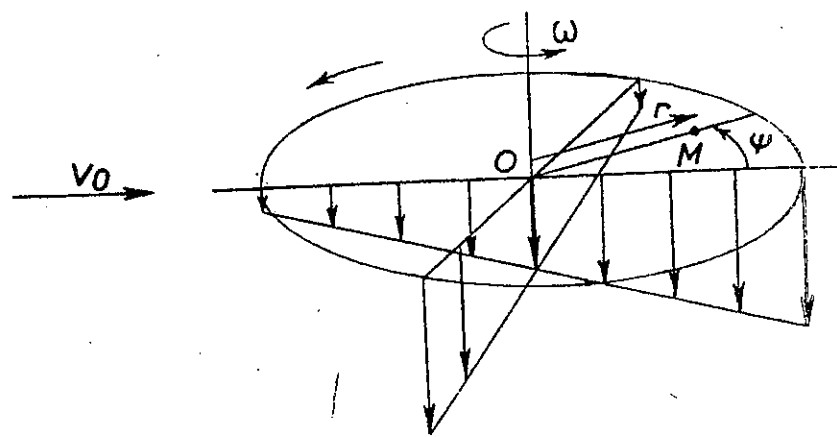
$$\mu = 0,2 \frac{V_{10}}{V_0} \approx 0,25$$

Şekil — 45 Turbiyonların şema haline getirilmesi

Endüii Hızın Disk Üzerinde Yayılımı: Endüii hızlar disk üzerinde eşit değerde yayılmış değildir. Diskin ileri kenarında sıfır yakını, diskin geri kenarında ise ortalama endüii hız diğerinin iki misli civarındadır. Yanlıarda ise zayıflar, ilerleyen kısımda azalır gerileyen kısımda çoğalır.. (Şekil. 46)

Hatta bazı hallerde endüii hız diskin ilerisinde ve gerileyen pal'ın kökünde ters yön alır. Eşitsizlik halinin, ilerleyen uçuş halindeki disimetrik turbiyon sisteminden doğduğu aşikârdır.

Disk üzerindeki endüii hızı hesaplayacak birçok formül abaklar vardır.



Şekil — 46 Yürüyüste Endüii Hızlarının Dağılımı

Bunlardan Meijer DREES tarafından hesaplanmış formüller söyledir.

$$V_i = V_{im} + V_{is} \frac{r}{R} \cos \psi - V_{is} \frac{r}{V} \sin \psi$$

$$\frac{V_{is}}{V_{i0}} = \frac{1}{\left(1 - \frac{3}{2} \mu^2\right) \sqrt{\left(\frac{V_x}{V_{i0}}\right)^2 + \left(\frac{V_z + V_{im}}{V_{i0}}\right)^2}}$$

XXXIV

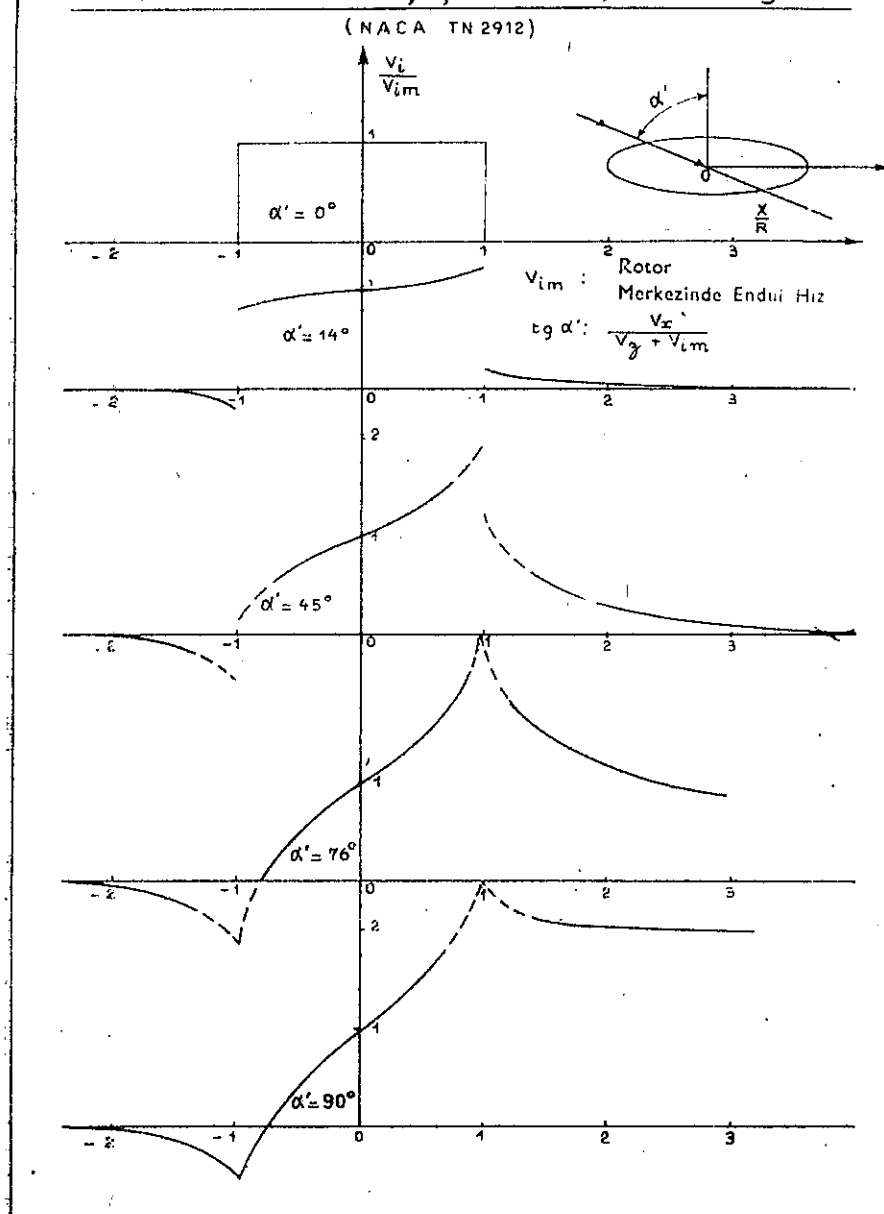
$$V_{is} = 2 \mu V_{im}$$

$$\operatorname{tg} \alpha = \frac{V_z + V_{im}}{V_x}$$

Orijini değişik bir diyagram olan, planş II-7 de gösterilmiştir. Bu planş $\cos \psi$ modülüne göre bilinmesi en faydalı olan endüii hız kısmını kolaylıkla verir. Planş II-8 ve II-9 da $\psi=0$, $\psi=\pi/2$ akıslarına göre hesaplanmış endüii hızların dağılımı bulunacaktır.

Otorotasyon :

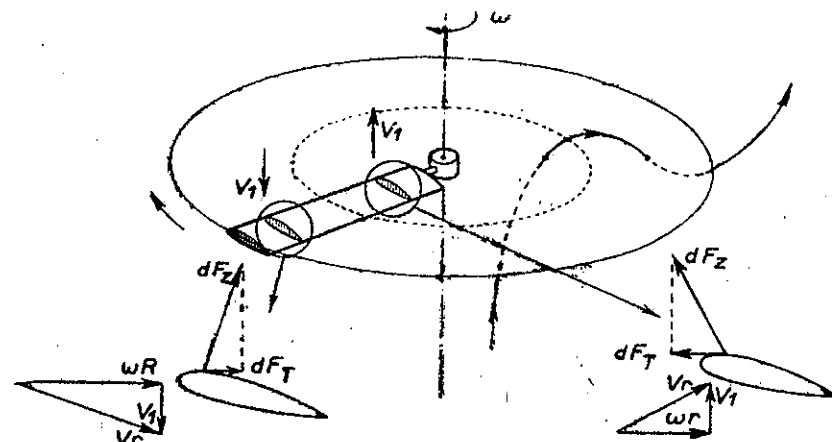
Nitelik hesabına geçmeden evvel otorotasyon halinde dönen rotorun durumunu anlayalım. (Şekil 248) de görüldüğü gibi dikey otorotasyondan başlayalım.

Pl. II-8
Ox Aksına Göre Yürüyüste Endüii Hızların Dağılımı

Planş II — 8

Daha evvel anlattığımız gibi profil sürüklemesi ihmal edilirse tek bir pal üzerinde taşıma ile beraber bir sürükleme veya havanın rotordan yukarıdan aşağıya yahut aşağıdan yukarıya doğru geçtiğine göre bir sürükleyici bileşen bulunur. (Şekil. 23)

Otorotasyon rejimi o şekilde husule gelir ki, pal aksı üzerinde kupl sifir olmalıdır. (Şekil. 48) de görüldüğü gibi rotor iç kısmı, muline-fren gibi çalışarak, pervane rejiminde çalışan rotor etrafında merkezden aldığı enerjiyi verir.



DIŞ KISIM : Bir sürükleme
var — Helikopter Regimi

İÇ KISIM : İtici Bir Bileşen
var — Muline Fren Regimi

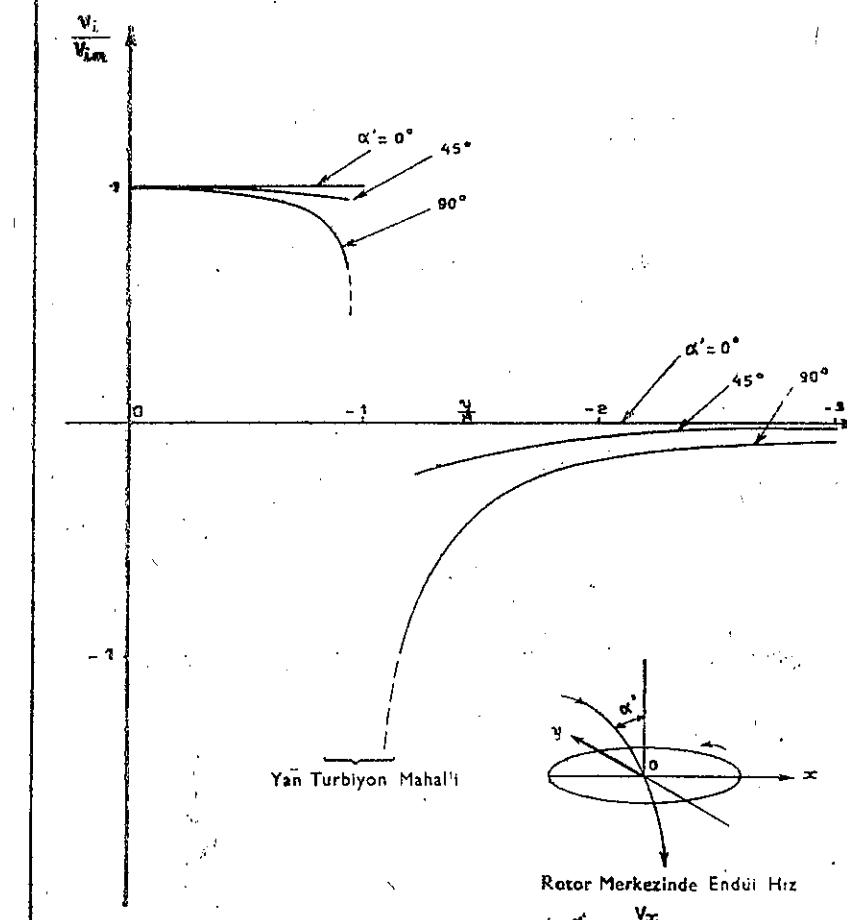
Şekil 47 ve 48 — Ideal Düşey Otorotasyon

Hava, rotoru merkezden gerek diskin etrafından emilir, böylece rotor diskinin tamamı üzerinde dolaşma yapar.

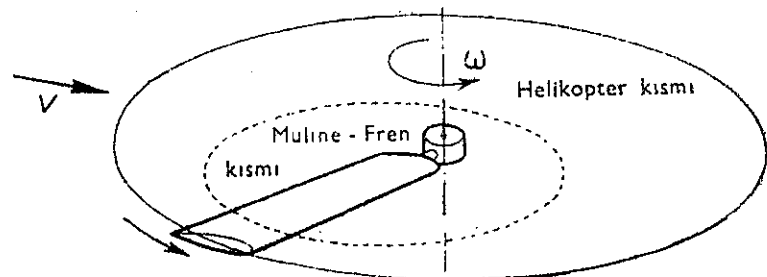
Pallerin «profil sürükleme» sini hesaba katarsak, o zaman havanın, bu mukavemeti yemesi için, enerji sarfetmesi lazımdır. Rotordan geçen hava fileleri sıfır olmaz ancak (Şekil. 47) de görülen şemada pek değişmez. Bununla beraber palın ayak tarafında profillerin hücum açısı fazla olduğundan palın merkez alanında bir dekolman alanı oluşturur.

Helikopterin yürüyüş halinde de, muline-fren ve helikopter alanlarını beraber bulacağız. (Şekil. 49) muline-fren alanı, gerileyen pal üzerinde ve yana doğru kaymış olur.

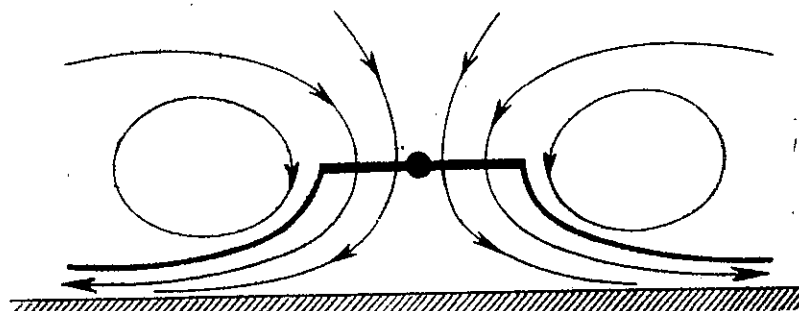
Pl. II-9.
**Ox Aksına Göre Yürüyüste
Endü Hızlarının Dağılımı**



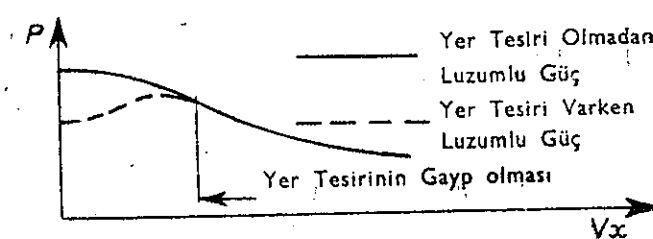
$$\text{Eg. } \alpha' = \frac{V_x}{V_g + V_{im}}$$



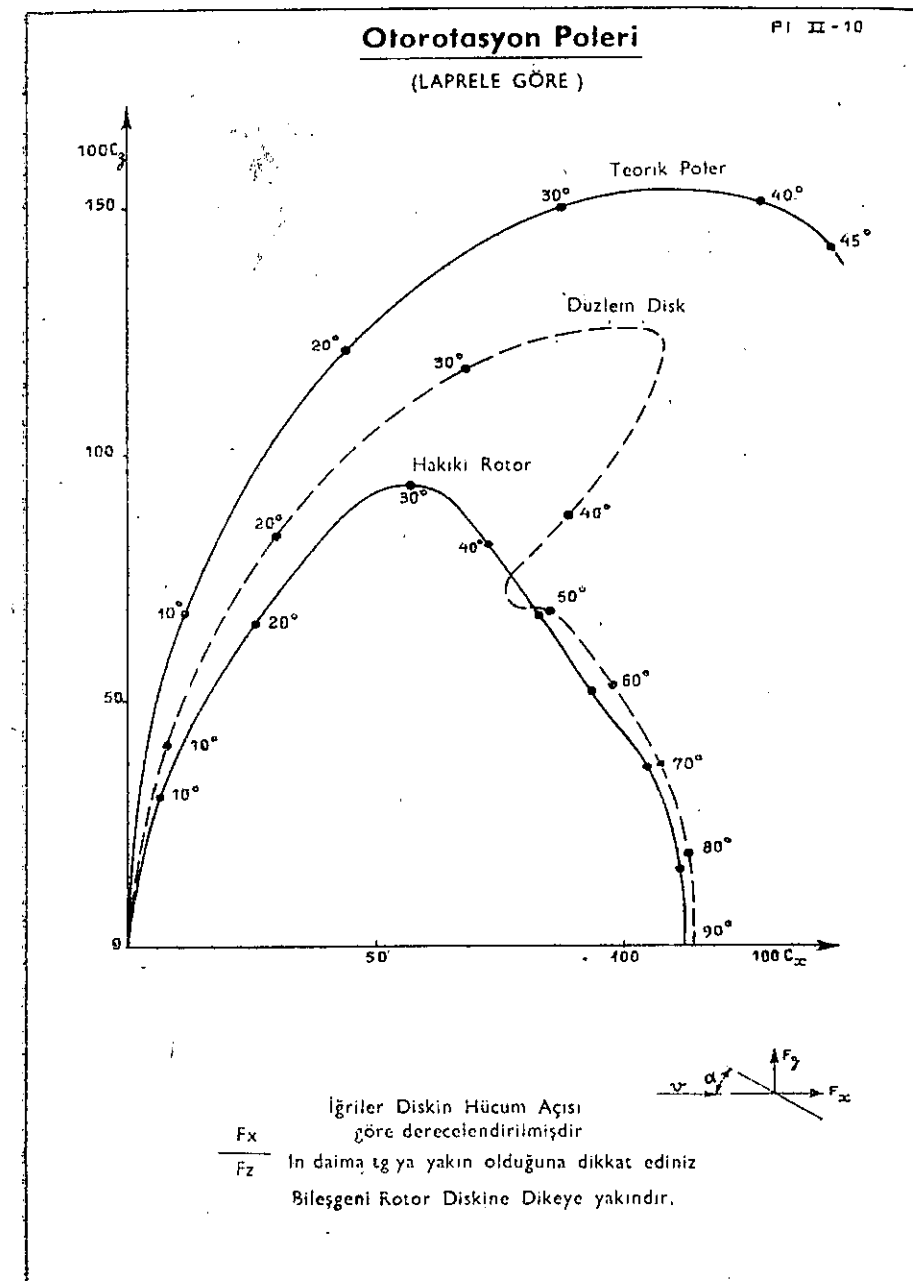
Şekil — 49 Yürüyüşte otorotasyon



Yer Tesiri



Şekil — 50 Yer tesirine, yatay hızın etkisi



Plans II — 10

Önemli Gözlem :

1— (Şekil. 48) de, normal uçuş haline göre pal hatvesinin otorotasyon halinden neden daha zayıf olduğu görülür. Havanın izafî hızları yukarıya doğrudur. Profillerin eğimi, münasip bir hücum açısı muhafaza edebilmesi için azaltılmıştır.

2— Rotorun bu alandaki otorotasyonu için merkezdeki kısmen güç rolünü evvelce anlattık.

Niteliğe Değin İnceleme :

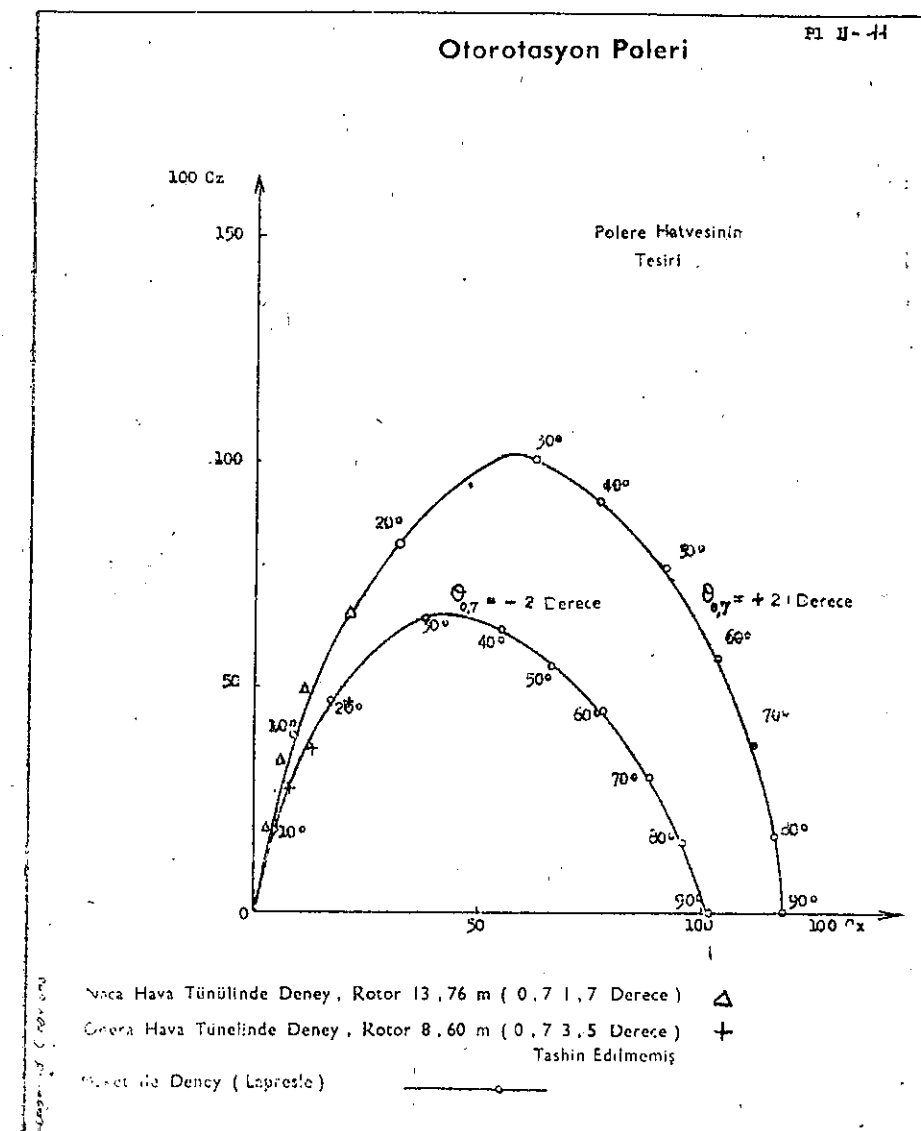
Otorotasyona dair bilgiler planş II-2 ve II-6 da verilmiştir. Burada biz sorunu biraz değişik açıdan ele alacağız.

Belirli bir hatveye ayarlanmış ve aksı etrafında serbest dönen bir rotorun izafî bir rüzgar tesiri ile dönüşümde otorotasyon rejimi tamamen belirlidir. Dönme hızı, sürükleme ve taşıma belirlidir. Bu taktirde kanatlarda olduğu gibi C_x ve C_z notasyonlarını alarak kanat yüzeyi yerine de rotorun döndüğü alanı S olarak, polerleri çizebiliriz. Tabiidir ki poler, palın yapılışına ve hatve açısına bağlıdır.

II-10 planşında diskin anormal kısmı dışında, diskin teşkil ettiği düzlem ile rotor maketinin teşkil ettiği şekil arasında polerin benzerlikleri büyüktür.

Aynı zamanda fikir vermek için I, II, III formüllerinden çıkardığımız teorik poleri de yanına çıkardık. Evvelce bildirdiğimiz gibi bu formüller tamamen yanlış sonuç vermektedir. Yalnız ufak hücum açıları bunun dışındadır.

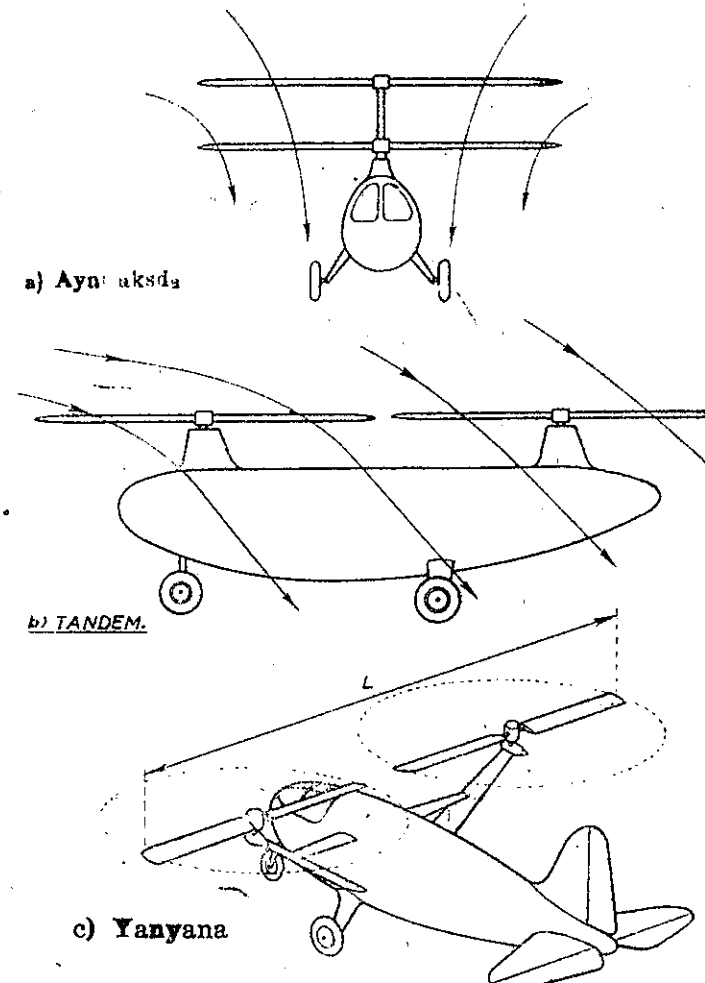
ANGLEY — FIELD ve **CHALAIS — MEUDON** Hava tünellerinde hakiki rotorlarla yapılan deneylere dayanarak çıkarılmış rotor poler parçaları üzerinde planş II-11 de hatve tesiri görülmektedir. Teoride hatve büyük oldukça otorotasyon daha iyidir. Ancak pratikte küçük hatveler kullanmak zorunluğunu vardır. Zira belirli bir taşıma kuvveti için, rotor rejimi yani devir sayısı düşmekte, aynı zamanda hatve ve hücum açıları artmaktadır. (Şekil. 47). Kâfi bir rotor rejimini muhafaza etmek ve hız kaybı tehlikesini önlemek gereklidir.



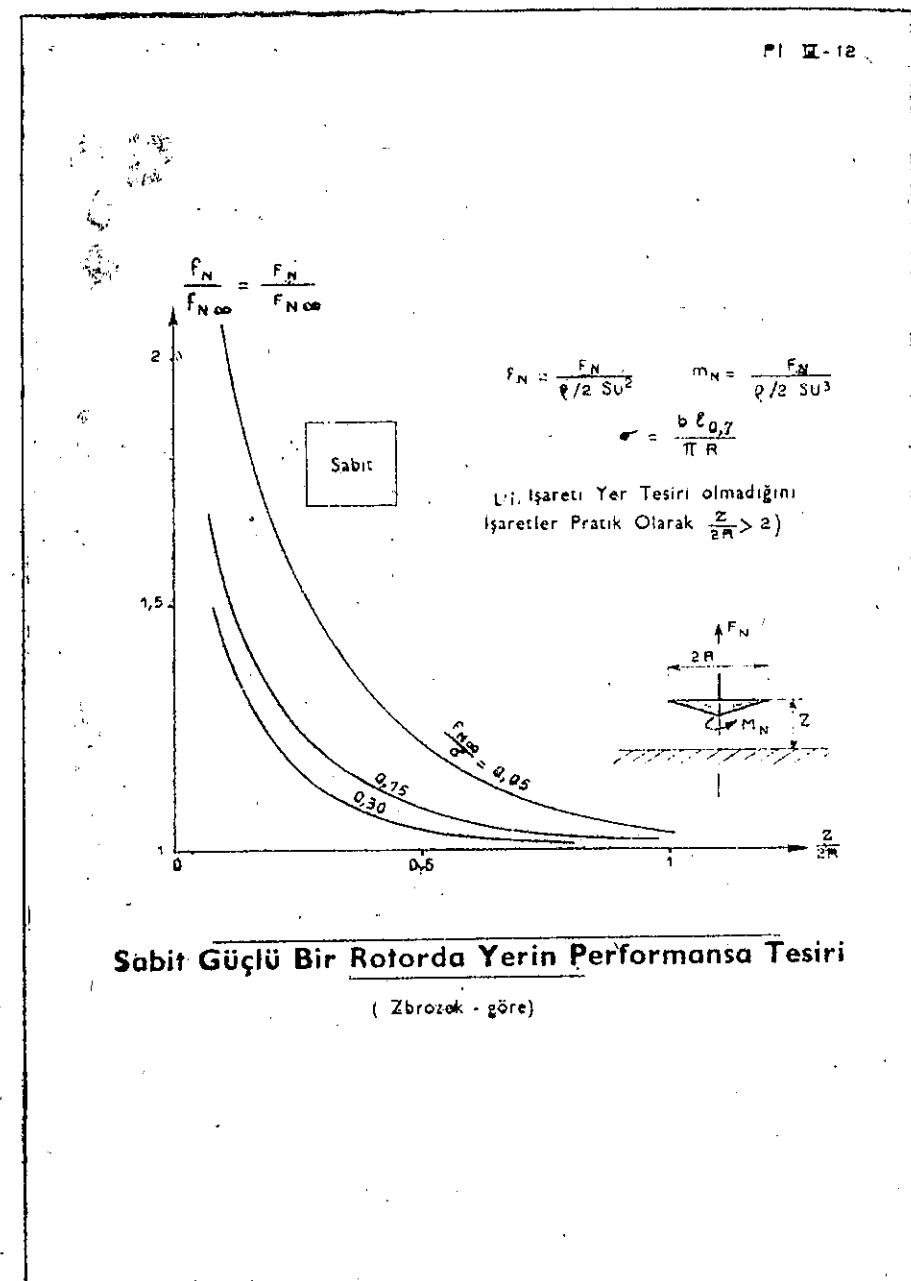
Planş II — 11

Yer Tesiri: Buraya kadar söylememekle beraber rotorun işlemesini serbest atmosfer içinde kabullenmiş idik. Yani rotor yakınında herhangi bir engel yoktur demişti. Bir uçuş hali vardır ki burada iş böyle değildir bu da yere yakın uçuş halidir. Sabit uçuş hali örneğinde olduğu gibi. Hava aks boyunca kaçamaz, rotor altında yere paralel olarak gitmek zorundadır. (Şekil. 50)

Bu tesir, belirli bir taşımayı hasıl etmek için hizumlu gücü, endüri hızları azaldığı nedenile azaltır.



Şekil — 51 Çok rotorlu Helikopterler



Plans II — 12

Olayın getirdiği değerler karışiktır. Birçok parametrelere bağlıdır, rotorun hızı, REYNOLDE adedi, kullanılan profilin niteliği, yerin otlu veya beton oluşu gibi. En önemlisi, rotor çapına göre yerden uzaklığıdır.

Planç II-12 de $\frac{Z}{2R} > 1$ değişgenine göre aynı güçte taşıma değeri değişikliği gösterilmiştir.

Kullanılan bütün hallerde iki özelliği gözden kaçılmamalıdır.

1— Yer tesiri, pratik olarak $\frac{Z}{2R} > 1$ olduğu değerde kaybolur.

2— Yer tesiri helikopterin yerden kalkışında yerden olan mesa-

fesi 1 m ile 1.50 m arasında iken yani $\frac{Z}{2R} = 0.35$ ila 0.40 olduğu zaman sarfi lüzumlu güç miktarı, duruma göre, % 5 ile % 20 arasında azalır.

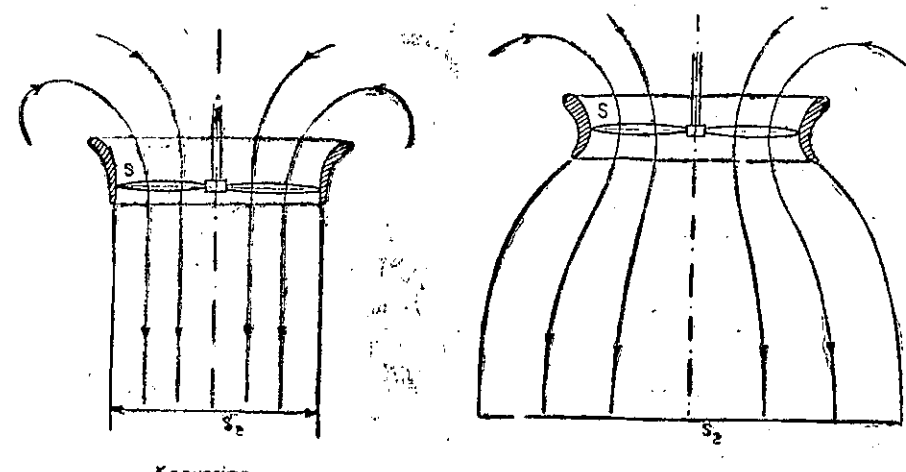
Yan Rüzgârm Yer Tesirine Etkisi : Rotorun tiflediği yerde yatay esen bir rüzgârin tesiri tabiidir ki yer tesirini ortadan kaldırıcıdır. Yer tesiri ile dekolaj yapan helikopter ufak hız ile yol almağa başladığı zaman rotora verilen gücü de artırmak gereklidir. Aksi halde yer tesiri ile dekolaj yapan helikopter aynı güç ile yol almağa başlarsa düşme tehlikesi ile karşılaşır.

Çok Rotorlular : Rotorun yakınındaki maniaların rotor aerodinamigi üzerindeki tesirinden söz ettik şimdî de daha az önemli olmayan çok rotorlularda aynı aks üzerinde olsun veya tandem olsun birbirlerine göre olan ve entraksiyon dediğimiz karşılıklı etkilerin önemini belirtelim.

Entraksiyonlar, dikey uçuştâ, genel uçuştâ, otorotasyonda ihmâl edilmesi mümkün olmayacak etkiler yapar. Buna göre performansların hesabını yapmak gereklidir.

Bu konuda genellikle bazı halleri ele alalım.

Bir aks'ta İki Rotoro : İki rotor yekdiğerinden kâfi derecede uzak ise dikey uçuştâ aynı çaptaki tek rotordan daha tesirlidir. Daha büyük kütleye havayı emerek çalışır, başkaca teget endüri hızları sıfır veya çok küçükttür. (Şekil. 51).



Şekil - 52 Kavene pervane

Tandem İki Rotor :

1— Yer tesirinde ve sabit uçuştâ bir az daha tesirli görüllür.

— Genel uçuştâ eğer rotorlar arka arkaya ise arkadaki öndeğinin izi içine girer. Öndeğinin rotorun tesiri ile aşağı yönelen rüzgâr içinde arkadaki rotor sanki çıkış halinde bir uçuş yapan rotor aerodinamigi gibi olur.

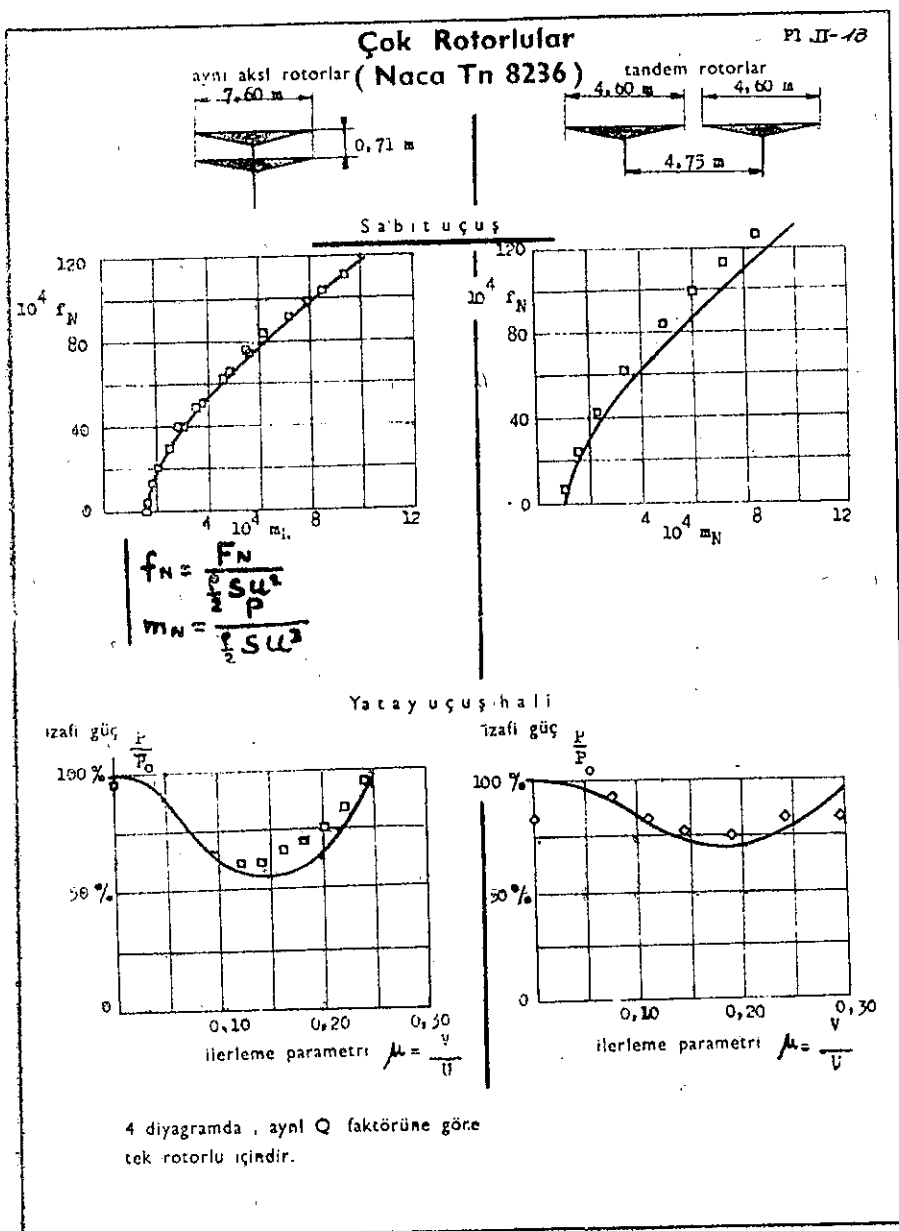
Sarf edilen endüri güç, aynı çapta ve aynı m^2 ye yüklü bir rotorun sarf ettiği güçten daha büyük olur.

Bu sebeple arkadaki rotoru daima yükselterek öndeğinin entiraksiyonundan yani hasıl olan izin dışına çıkarmağa gayret edilir.

Yanyana İki Rotor : Yer tesiri ile sabit uçuş halinde, tandem de olduğu gibi, etkililikte az bir artış olur.

Hızlı genel uçuştâ, lüzumlu endüri güç, aynı m^2 yüklü tek rotoruya göre, daha azdır. Bunun nedeni, «anvergür» kanat açılığı artışından ötürüdür. Rotorun çapı yerine, iki diskin uzak kenarları arasındaki boyutu L alınır.

$$F_N = 2 \rho \frac{\pi L^2}{4} | \vec{V}_1 + V_i | \quad \text{denklemi}$$

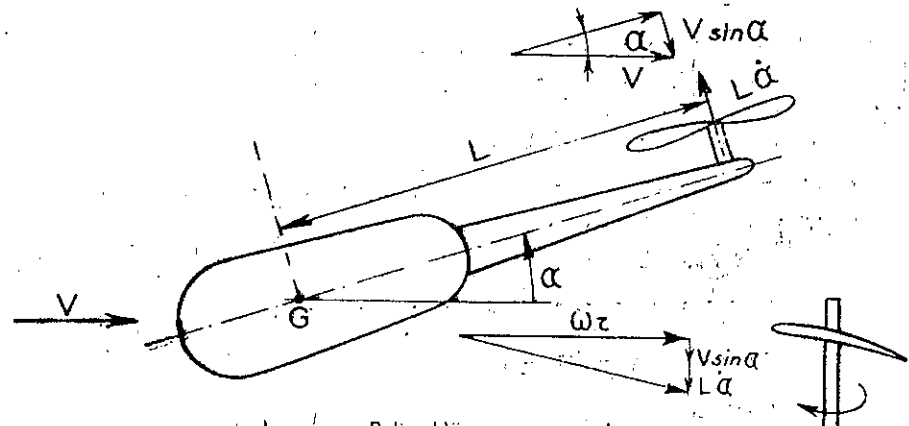


Planş II — 13

$$\frac{F_N}{2} = 2 \rho \pi V^2 | \vec{V}_1 | V_1 \quad \text{yerine alınır.}$$

Değişik maketler üzerinde yapılan deneylerin mukayeseli sonuçları (planş II-13) dğeler üzerinde bir rfiğir verir.

Karene Edilmiş Pervane: Helikopter grubuna giren bazı araçlarda karene edilmiş rotor kullanılır. (Şekil 15 ve 52).



Palin Hacum açısı azalır
Rotorun Çekmesi Azalır

Şekil — 54 Anti - kupl Rotorun dengelemede rolü

Bu usulün aerodinamik faydası; belirli çapta bir rotorla belirli bir taşıma kuvvetini daha küçük bir endüri güç ile elde etmektir.

(Şekil. 52) de görüldüğü gibi, akım hortumunun sonsuz çıkışındaki kesidinin pervanenin bulunduğu kesite eşit olmasıdır. Bu neden ile $S = S_2$ olur halbuki $S = 2 S_2$ idi.

FROUDE formülüne bu değişikliği tatbik edersek,

$$\frac{F_N^{3/2}}{\sqrt{2} \rho S_1} \quad \text{yerine}$$

$$P_{10} = \frac{1}{\sqrt{2}} \cdot \frac{F_N^{3/2}}{\sqrt{2} \rho S} \quad \text{olur.}$$

icin, rotor rejimi yani devir sayısı düşmekte, aynı zamanda hatve ve

Serbest bir pervaneye göre, endüri güçten % 30 fayda sağlar.

Konverjan — diverjan karenaj kullanarak bir az daha ileri gider-sek. Teorik olarak (Şekil. 52) de görülen akım tipine göre güç:

$$P_{10} = \frac{F_N^{3/2}}{2\sqrt{\rho S_2}} = \frac{1}{\sqrt{2\rho S}} \quad \text{olar ki}$$

$\frac{S_2}{S}$ oranı büyündükçe P_{10} küçüliür.

Pratikte zorluk stabi olarak bu tip akımı temin edecek bir diverjan yapmaktadır. Bununla beraber bu konuda bir çok yerlerde cesaret verici deneyler yapılmaktadır.

Rotorda Değişken Aerodinamik: Değişken rejimlerde rotorun tutumunu bazı problemlerde incelemek için, sabit kanatlarda olduğu gibi, aerodinamik akımlarda acaba dikkate almakta lüzum yokmudur?

Bu meseleyi iki değişik kademe ile inceleyelim.

— Pallerin çalışma şartları

— Endüri akım

Pallerin çalışma şartlarında ileride göreceğimiz gibi genel uçuş hâlinde veya bir manevrada profillerin hücum açısı değişmektedir. Bu şartlarda acaba, palleri etkileyen kuvvetlerin hesabında değişken aerodinamik kavramını dikkate almak lâzım midir?

İki boyutlu kullanılan formüllerin tabbikatında görülür ki şayet rotor rejimi frekansları aşılmayacak olursa getirilmesi lüzumlu düzeltmeler zayıftır, ihmali edilebilir.

İleride göreceğimiz Pallerin «batman» (battlementi hesaplarını, tâşmanın gecikmeden profiller üzerine tabbiki, doğrular. Ancak battmanın yüksek armonik titreşimlerinde olduğu gibi yüksek frekanslara gidimez ise yapılacak düzeltmeler önemlidir. Pallerdeki kontrentlerde de böyledir.

İkinci nokta, endüri akımların teşekkürî zamanı daha geniş çapta düşünülmesi gereken bir olaydır.

Pratik faydası şudur:

Beraberce veya sıklik olarak değişen pal hatveleri, Paller düzleminin değişmesi, pallerin taşmasına tesir eden akımının durumu, olaylarda hızlı değişim olursa, rotorda endüri hızlar ne duruma girer problemi, bize aracın uçuş kalitesi üzerinde ve hızla verilecek kumandalara aracın hızla cevap vermeyeceği bakımından, önemlidir.

Bu konuda az çalışma yapılmıştır. Bununla beraber bugünkü deneylerin verdiği sonuçlara bakılırsa bir işlemeden diğerine geçiş zaman bakımından saniye mertebesindedir.

Antikupl Rotorun Aerodinamigi: Kuyruk rotoru dediğimiz bu pervanenin aerodinamigi evvelce söylediğimizden farklı değildir. Şu ilâve edelim ki bu rotorun çalışma şartları çok ağırdır. Uçuşa, esas rotorun izindeki hava filelerinden geçer. Başkaca aracın yol aksı etrafındaki dönüşlerinde genellikle turbiyon halkalarının içinde kalır. Bu iki olay antikupl rotorun önemli titreşimlere sahne olmasını izah eder. Pervaneyi teşkil eden bazı parçaları da fazlasile zorlar.

Ayrıca, antikupl rotor esas rotorun kuplunu ayarlar ve gövdenin yol dengesini sağlayarak uçakta deriv, diğer bir deşimle yol dijimeni görevini yapar ki, göründüğünden daha önemlidir. (Şekil. 53) de görüldüğü gibi deriv işini yapar. Yol dengesini sağlayarak, yol açısı ile orantılı olarak aerodinamik bir kuvvetle yol doğrusuna kayar, ve bu tür inhirafları da amorti eder.

Evvelce gösterilen metodlara davanarak bulunacak olan formülde S_c avm deperdeki disk yüzeyini verir ki deriv olarak antikupl rotorun tesirine eşittir.

$$S_c = S x \frac{1.32}{1 + 3.1 \frac{\mu}{\sigma} \left(\frac{dc}{di} \right)_\infty G_1}$$

G_1 Pal formu parametri (ilâve III-2)

σ rotorun parametri

μ ilerleme parametri

S Rotor yüzeyi

Bu formül tünel deneylerinde maketin yol dengesini incelemek için dönen rotor yerine sabit diskin S_c yüzeyini verir.

Tabiidir ki bu yüzey gövdenin izi içinde olnamalıdır. Görülüyor ki, S_c değeri $\mu = \frac{v}{u}$ ile küçüliür.

Antikupl rotoru ndengelemede ki değeri, aracın hızı arttıkça azalır.

Gövdenin Aerodinamiği : Helikopterin gövdesi hafiflik ve basitlik dolayısı ile imal edildiğinden uçak gövdesine oranla çok değişik şekilde dir. Bu şekil, özetle tek rotorlu ve kuyruklu bulunan antikupl rotoru alanlarda daha açıktır. Ön taraftaki gövde parçasında pilotları ve personeli iki veya üçer hatta dörder olmak üzere yerleştirme, gövde üstünde turbomotorun yerleştirilmesi ve nihayet ince ve uzun bir kuyruk ucuna antikupl rotorun yerleştirilmiş olması gövdeyi uçağa göre aerodinamik formdan hayli uzaklaştırır. İşte bu nedenlerle helikopter gövdesini uçak gövdesi etiinden ayırmak gereklidir.

Sürükleme : Uçuş yönüne dikey geniş kesitleri aynı olarak bir helikopter ile bir uçağı mukayese edersek helikopterin uçaktan 3-4 misli fazla sürükleme kuvvetine muhtaç olduğunu görürüz.

Fikir vermek için diyalim ki, 2 veya 3 kişilik bir helikopter sürüklemesi yaklaşık olarak, dört motorlu büyük tonajda bir nakliye uçağının iki mislidir. Bu durumun gittikçe hızı artırılan helikopter de ne kadar önemli olduğu anlaşılır.

İzin Bulunuşu : Gayet kötü karene edilmiş helikopterin ön kısmı arkasında önemli bir iz teşekkül eder. Turbiyon bölgesi olan bu iz içine giren stabilite yüzeylerinin düz uçustaki rolü çok küçüllür.

Memnunlukla diyebiliriz ki antikupl rotor helikopterin yol ekseni etrafında dengesini sağlamaya yeterlidir. Yani helikopteri her türlü düz uçuşa yol yönüne getirebilir. Buna karşılık toslama ekseni etrafında konan yüzeyler yeterlilikle temin edemez.

Uçuşlarda önemli zorluklar doğar. Yavaş uçuşlar yapan helikopter tiplerinde pek önemli olmamakla beraber hızlı uçuş yapan yeni helikopter tiplerinde sürükleme kuvvetinin azaltılması ve toslamada dengenin sağlanması gereklidir.

Sürüklemenin azaltılması usulleri uçaklarda olduğu gibi; gövdeyi boyunca karene etmek, gövde dışında sürükleme yapan çıkışlı boylu boyunca karene etmek, gövde dışındaki sürükleme yapan çıkışlı boylu boyunca karene etmek, iniş takımlarını içeri çekmek veya karene etmek ve buları yok etmek, iniş takımlarını içeri çekmek veya karene etmek ve bunu benzer usulleri kullanmakla olur.

Helikopter gövdesi uçağta olduğundan fazla, hücum açıları ile uçar. Bu durum dolayısı ile de altimetre ve anemometre gibi aletlerin statik basıncı olan sondaların yerleştirilmesi zorluğu vardır.

BİBLİYOGRAFYA

- L'HELICOPTERE — THEORIE — PILOTAGE et UTILISATION, J. Moine, (Edité par la Société Fenwick, Paris, 1953)
- Principles of Helicopter Engineering — J. Shapiro, (Londrea, Temp le Press, 1955)
- Helicopter Analysis — A.A. Nikolsky (New-York, John Wiley et sons, inc.)
- Aerodynamica of the helicopter — Gessow A. et Myers G. G. (New York, Mac Millian co. 1953)
- Les giravions, I. C. Garry (Cours de l'ENSA, 1953)
- Théorie des hélicoptères monorotors — J.J. Ginoux, (Bruxelles, Office de Publicité)
- Eléments d'aérodynamique à l'usage du pilote d'hélicoptère — Owen G. Niehaus et Richard Batchelder, (Document Bell Aircraft Cion. Traduction C.E.V. no 302) (Ouvrage élémentaire, mais clair et assez complet)
- Helicopter Engineering — R.A. Young, (New-York, The Ronald Press Co, 1949)
- Introduction to Helicopter Aerodynamics — W.Z. Stepniewski, (Rotorcraft Publishing Committee, Morton Pa. (U.S.A) — 1956) Théorie et calculs de performances présentés de façon simple à l'usage des bureaux d'études).
- Review of Information on induced flow of a lifting rotor(Alfred Gessow, N.A.C'A' Technical Note 3283 — 1954)
- An Investigation In Flight of the Induced Velocity Distribution under a Helicopter when Hovering, P. Brotherhood, (British ARC, R et M no 2531)
- Distribution of Normal Component of Induced Velocity in Lateral Plane of a Lifting Rotor - Walter Castles Jr. et Howard L. Durham Jr. (NACA T.N. 3841, 1956).
- Full Scale Investigation of the Aerodynamic Characteristics of a Typical Single - Rotor Helicopter in Forward Flight -

- Richard C. Dingeldein et Raymond F. Schaefer (NACA,
Report no 905, 1948)
- Propulsion par réaction des pales de rotor d'hélicoptères. A. Stepan
(Traduction S.D.I.T.M.R. 474, 1949)
- Methods for Obtaining Desired Helicopter Stability Characteristics
and Procedures for Stability Predictions - F.B. Gustafson
et Robert J. Tapscott, (NACA, Technical note 3945, 1957)
- Stabilité au sol des hélicoptères tripales — J. GILLY et Y. NORMAND
(Technique et Science Aéronautique no 6, 1952)
- Mesure en vol des contraintes dans des pales d'hélicoptères es G.
PETIT, (C.E.V. Rapport d'Etude no 196/E)
- Têtes de rotor de griavions — E. LEYGUE et P. LEFORT
(S.D.I.T. DocAéro no 11)
- L'évolution de l'hélicoptère et la technique française, I.C. LEGRAND
(Technique et Science Aéronautiques, T. 2;1957)